



Universidade de Brasília

DEPARTAMENTO DE ESTATÍSTICA

25 julho 2023

Trabalho em Grupo - Regressão

Prof^a. Maria Teresa Costa Leão

Análise de Regressão Linear

Alunos:

Bruno Gondim Toledo | Matrícula: 15/0167636

Arthur Rodrigues | Matrícula: 19/0127376

Lucas Menezes | Matrícula: 18/0105418

Preço de venda da casa

A fim de analisar o comportamento da variável X_1 (tamanho da casa) dispõe-se o gráfico e o quadro a seguir:

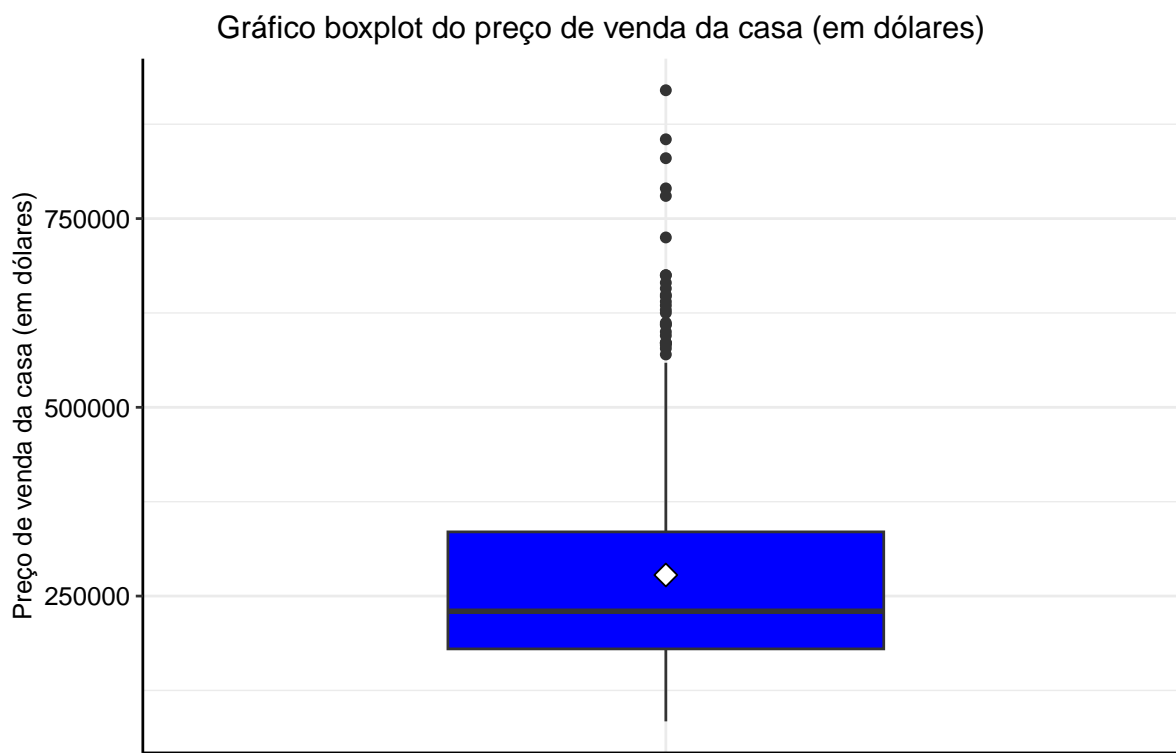


Table 1: Medidas Resumo do preço de venda da casa (em dólares)

Estatística	Valor
Mínimo	84000
Primeiro Quartil.	180000
Mediana	229900
Média	227894
Terceiro Quartil	335000
Maximo	92000
Desvio Padrão	137923

Diante da Figura 1 e do Quadro 1, conclui-se que o menor preço de venda foi de 84 mil dólares, enquanto que a casa mais cara saiu no valor de 920 mil dólares. Além disso, o preço médio das casas foi \$277.894,00 dólares. É importante notar que a média pode ser influenciada pelos valores extremos, ou seja, pelos outliers presentes no limite superior na distribuição dos preços. Dito isso, para analisar o preço médio, pode ser utilizado a mediana, tendo em vista que essa medida é resistente à outliers e separa os dados da distribuição ao meio. Dessa forma, a mediana foi de \$229.900,00 dólares.

Vale ressaltar que 75% das casas foram vendidas por um preço igual ou inferior a \$335.000,00 dólares, que pode ser visto através do terceiro quartil. Já o desvio padrão, apresentou um valor de \$137.923, mostrando que há uma grande variabilidade nos preços das casas, que pode ser notada pela amplitude do boxplot.

Tamanho da casa

Para analisar o comportamento da variável X_2 (tamanho da casa) dispõe-se o gráfico e o quadro a seguir:

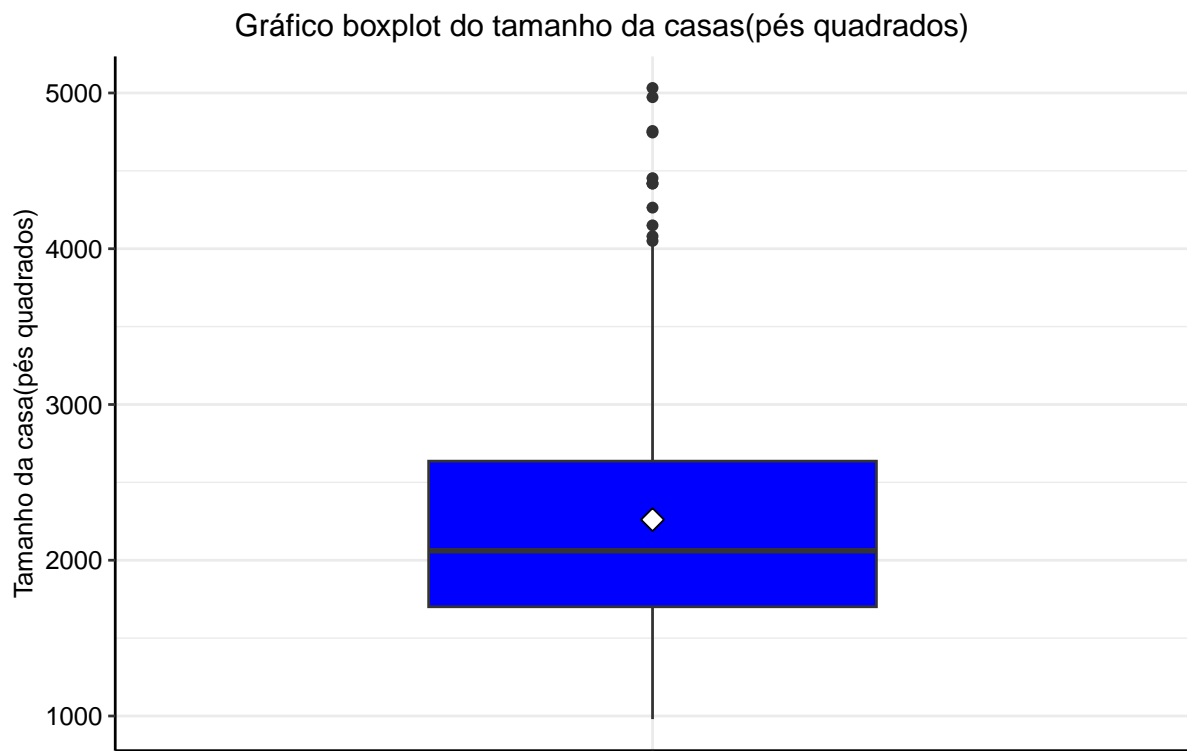


Table 2: Medidas Resumo tamanho das casas (pés quadrados)

Estatística	Valor
Mínimo	980.00
Primeiro Quartil.	1701.00
Mediana	2061.00
Média	2261.00
Terceiro Quartil	2636.00
Maximo	5032.00
Desvio Padrão	711.07

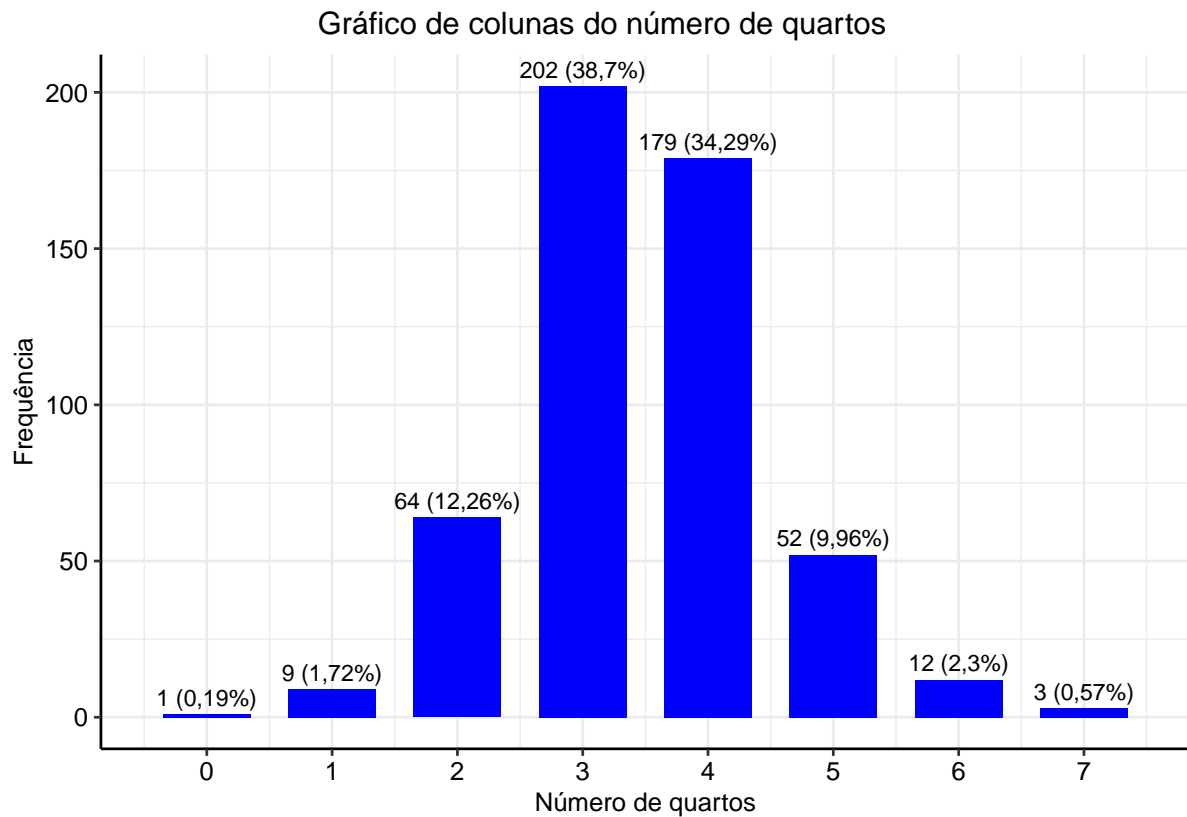
Com base na Figura 1 e no Quadro 1, conclui-se que a média de tamanho das casas é de aproximadamente 2261 pés quadrados. Ademais, o valor mínimo é de 980 pés quadrados e o valor máximo é de 5032 pés quadrados, mostrando que a amostra abrange desde casas pequenas até propriedades bastante extensas.

Nesse sentido, destaca-se a amplitude do tamanho das casas, que é a diferença entre o maior e o menor valor observado. Neste caso, a amplitude é de 4052 pés quadrados, mostrando uma grande variação dos no tamanho das casas que pode ser explicada pelo desvio padrão, que é de aproximadamente 711,07 pés quadrados.

Além disso, a mediana, por sua vez, é de 2061 pés quadrados, indicando uma assimetria à direita na distribuição dos dados, visto que a média é maior que a mediana. Essa assimetria pode ser explicada pela presença de valores maiores (outliers) que puxam a média para cima.

Número de quartos

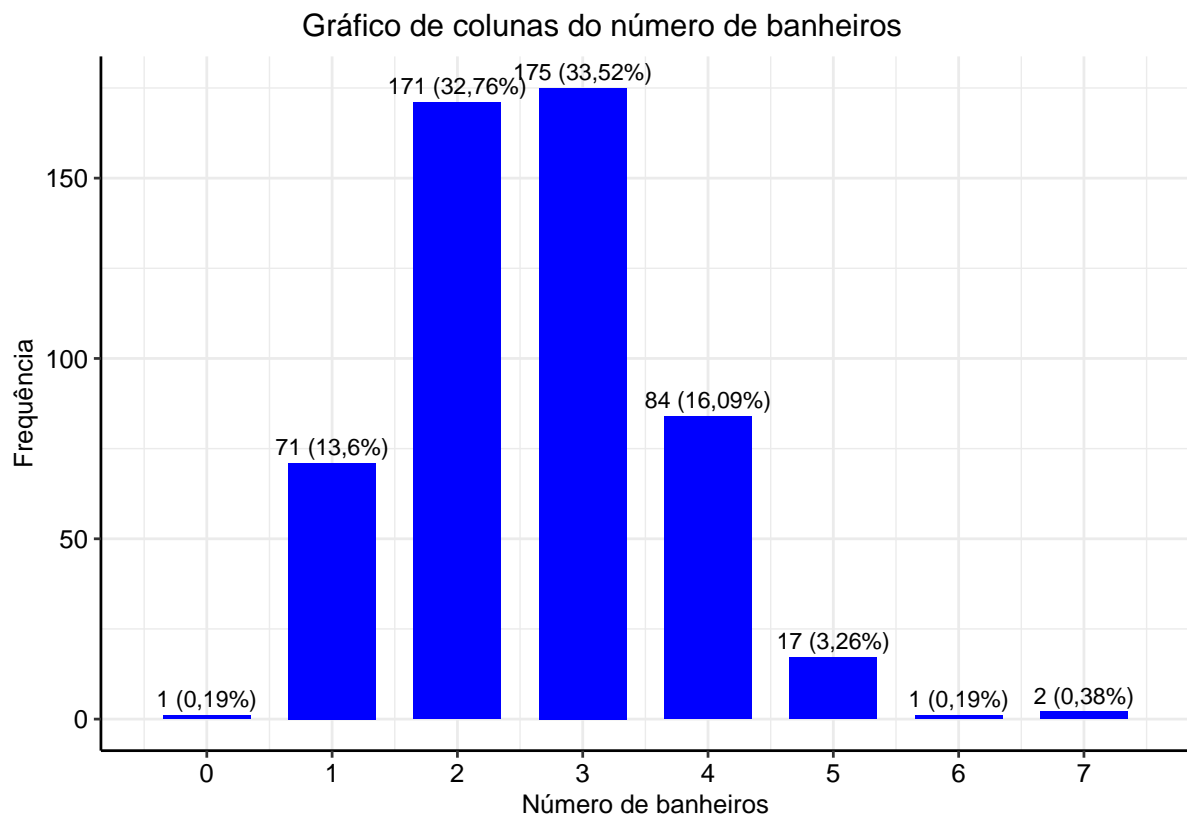
A análise descritiva da variável X_3 (Número de quartos) é ilustrada na figura abaixo, apresentando um gráfico de colunas. Esse gráfico oferece uma representação visual dos dados relacionados ao número de quartos nas residências estudadas.



A partir da Figura 2, observa-se que a maioria das casas construídas entre os anos de 1885 e 1998 possuía entre 3 e 4 quartos, representando quase 73% do total. Além disso, foi identificado que apenas 1 casa (0,19%) não possuía nenhum quarto, enquanto em apenas 3 casas (0,57%) foram encontrados sete quartos

Número de banheiros

Este estudo visa analisar a variável X_4 , que representa o número de banheiros em uma casa. Para facilitar a compreensão dos dados, a figura a seguir apresenta uma visualização gráfica da distribuição dessa variável.

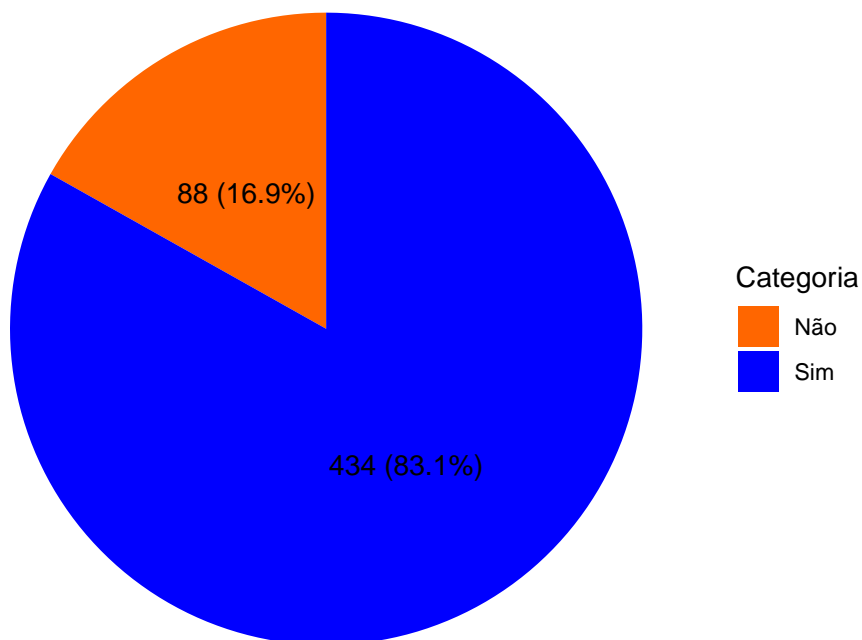


Com base na Figura 3, podemos observar que a maioria das casas construídas entre os anos de 1885 e 1998 possui entre 2 e 3 banheiros, representando 66,28% do total. Em contrapartida, 16% das casas possuem 4 banheiros, enquanto 13,6% contam com apenas 1 banheiro. É importante destacar que uma parcela inferior a 0,5% possui entre 6 e 7 banheiros, e somente 1 casa (0,19%) não possui banheiro.

Presença de ar condicionado

A análise descritiva da variável X_5 , que representa a presença(ou não) de ar condicionado nas casas, é ilustrada através da figura apresentada abaixo, a qual consiste em um gráfico de setor.

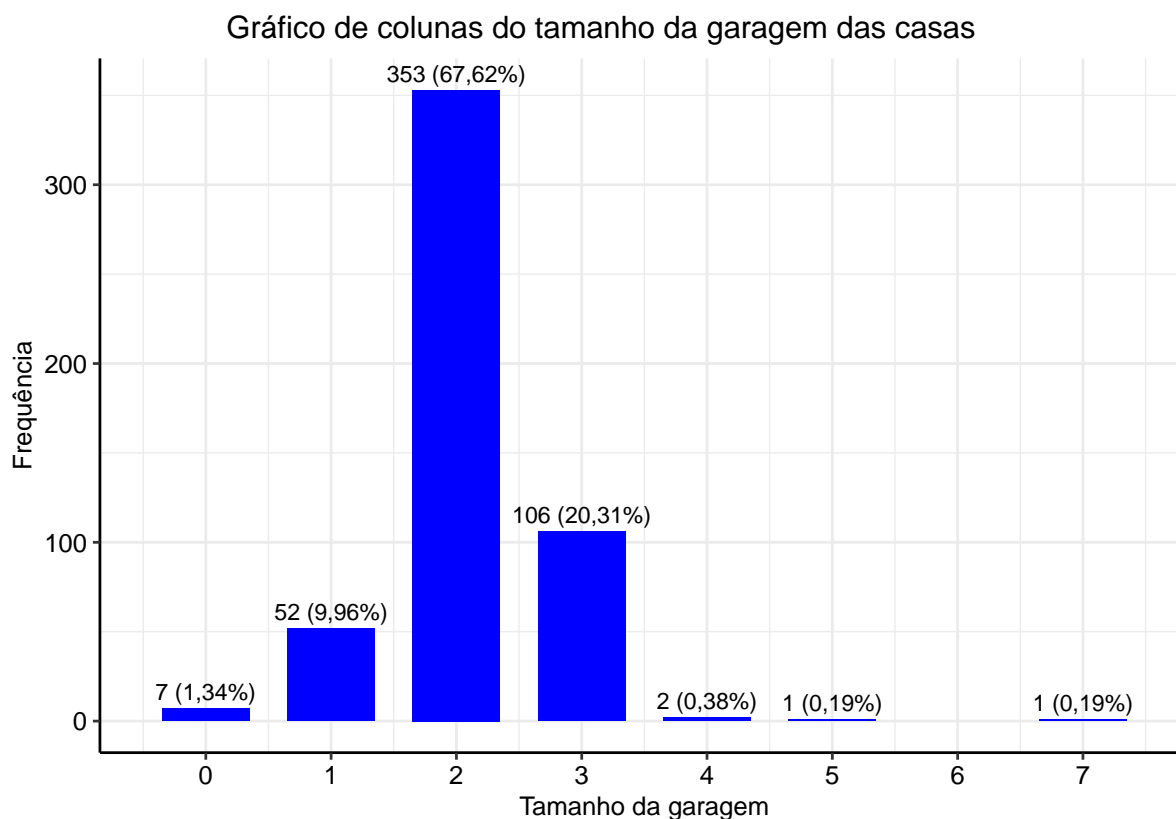
Gráfico de setor sobre a presença(ou não) de ar condicionado nas casas



Diante da figura 4, constata-se que 83% das casas construídas nos anos de 1885 a 1998 não tinham ar condicionado.

Tamanho da garagem

Nesta análise descritiva, vamos examinar a variável X_6 , que representa o tamanho da garagem, ou seja, o número de carros que podem ser guardados na garagem. A seguir, apresenta-se a figura que ilustra essa variável.



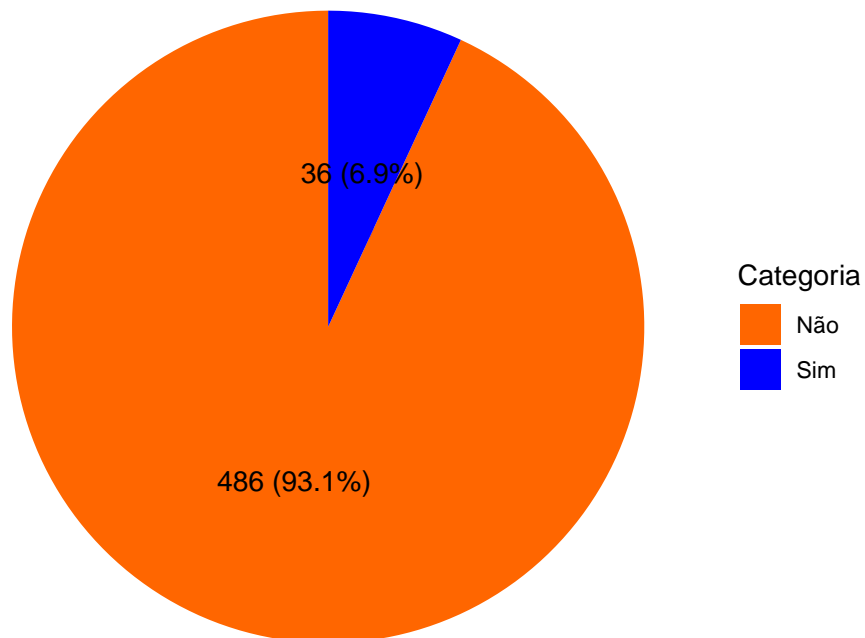
De acordo com a Figura 5, conclui-se que a maioria das casas construídas (cerca de 67,62%) tem espaço para aproximadamente 2 carros em suas garagens. Além disso, cerca de 20% das casas têm capacidade para acomodar 3 carros. Por outro lado, casas com espaço para apenas 1 carro representam menos de 10% do total. Destaca-se também as casas com espaço para 4, 5 ou 7 carros que são ainda mais raras, compreendendo menos de 1% do total cada.

Vale a pena ressaltar que existem mais casas sem garagem (cerca de 1,34% do total) do que casas com capacidade para comportar entre 4 a 7 carros juntas.

Presença de piscina

Com o objetivo de examinar a variável X_7 , que indica se as casas possuem piscina ou não, foi realizada uma análise descritiva, cujos resultados são apresentados na figura abaixo.

Gráfico de setor sobre a presença(ou não) de ar piscina nas casas



Atráves da Figura 6, constata-se que mais de 90% das casas construídas entre os anos de 1885 e 1998 possuem piscinas, ao mesmo tempo que apenas 6,9% não usufruem disso.

Idade das casas

No banco de dados original, a coluna X_8 constava o ano de construção da casa. Esta é uma informação potencialmente útil para a análise, porém carecendo de uma transformação para fazer sentido numericamente. Para tal, transformamos a informação contida na variável para 'Idade da casa', considerando a amplitude abrangida pelo banco de dados. Considerando a casa mais nova presente no banco de dados (Ano 1998) como idade 0, e a casa mais antiga da casa (Ano 1885) como idade 113; e todas as demais seguindo o mesmo padrão.

A fim de examinar a distribuição da variável X_8 , que agora representa a idade das casas em anos, foram elaborados um boxplot e um quadro com medidas resumo.

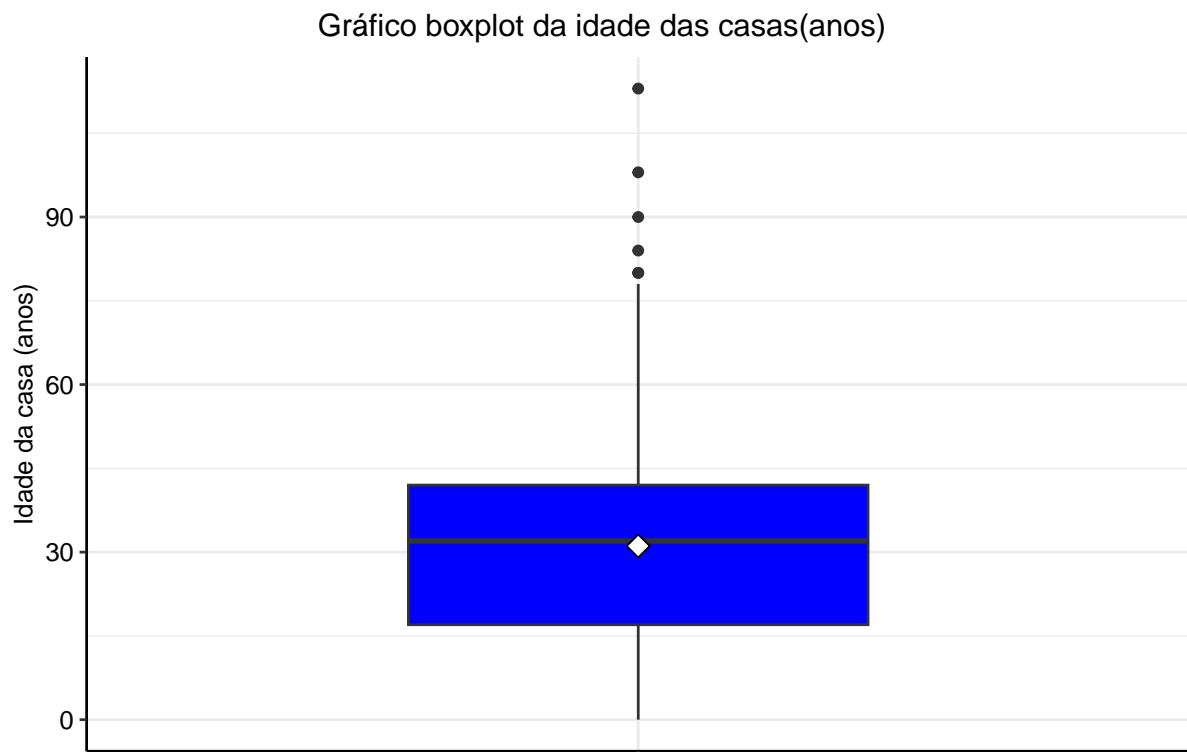


Table 3: Medidas Resumo da idade das casas(anos)

Estatística	Valor
Minimo	0.00
Primeiro Quartil.	17.00
Mediana	32.00
Média	31.10
Terceiro Quartil	42.00
Maximo	113.00
Desvio Padrão	17.64

Analisando a Figura 7 e no Quadro 2 constata-se que a idade média das casas é de 31,1 anos. Além disso, a casa mais nova tem 0 anos, ou seja, foi construída em 1998, enquanto que a casa mais velha tem 113 anos (1885). No entanto, a presença de outliers no limite inferior, pode estar puxando a média para baixo, tornando-a menor que a mediana. Nesse caso, a média não é a melhor medida de tendência central, pois é influenciada por valores extremos. Dessa forma, a mediana é a melhor medida para representar a idade média das casas, já que não é afetada por outliers.

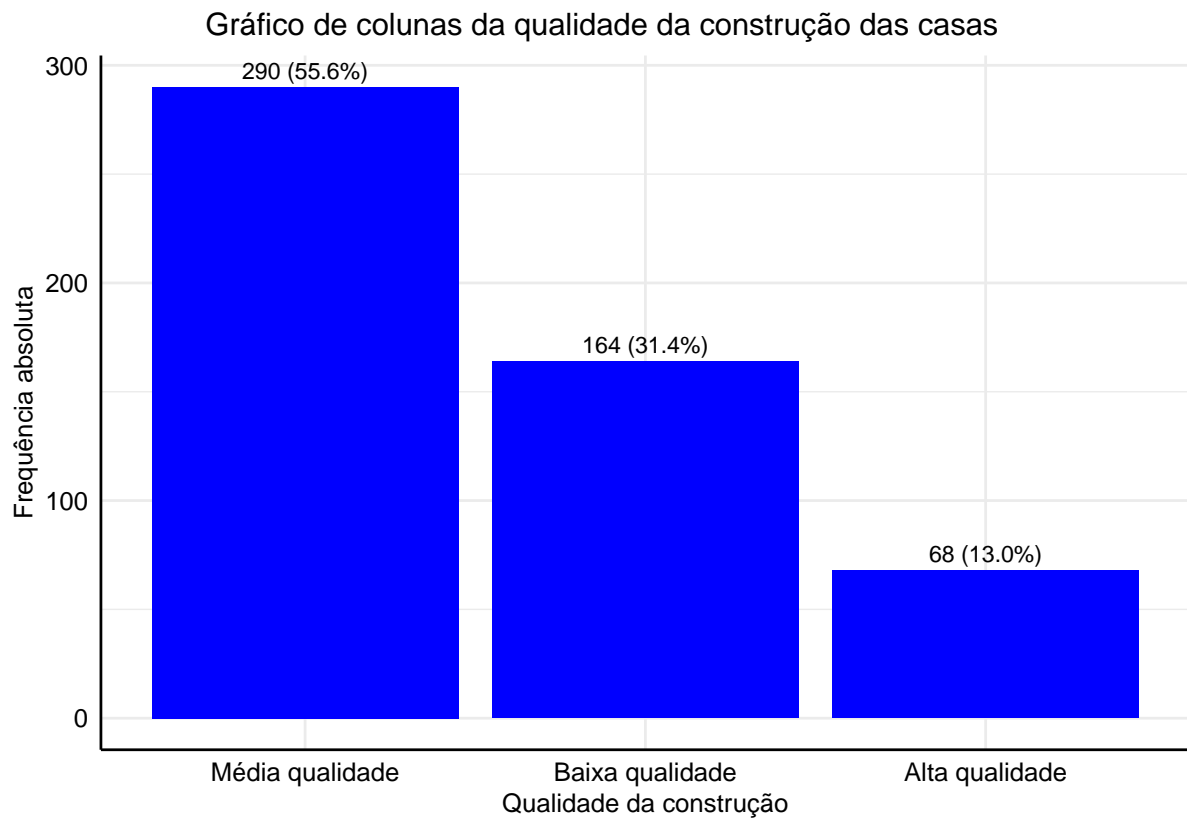
Nesse contexto, a mediana está em torno de 32 anos, ou seja, metade das casas tem uma idade menor ou igual a 32 anos, enquanto a outra metade tem uma idade maior ou igual a esse valor. Vale ressaltar

também que o valor do terceiro quartil é de 42 anos, indicando que 75% das casas têm uma idade menor ou igual a 42 anos.

A amplitude dos da idade das casas é de 113 anos, mostrando uma grande variação da idade que é explicada pelo O desvio padrão de 38.99 anos, indicando uma dispersão das idades em relação à média.

Qualidade da construção

Com o intuito de analisar a variável X_9 , que representa a qualidade da construção, dispõe-se a figura abaixo:



Baseando-se na Figura 8, comprova-se que mais da metade das casas (55,6%) foram construídas com uma qualidade média. Enquanto isso, 31% das casas têm uma baixa qualidade e somente 13% delas são consideradas de alta qualidade.

Tamanho do terreno

Com o propósito de realizar uma análise descritiva da variável X_{10} que representa o tamanho do terreno (pés quadrados), foram apresentadas a figura e o quadro abaixo:

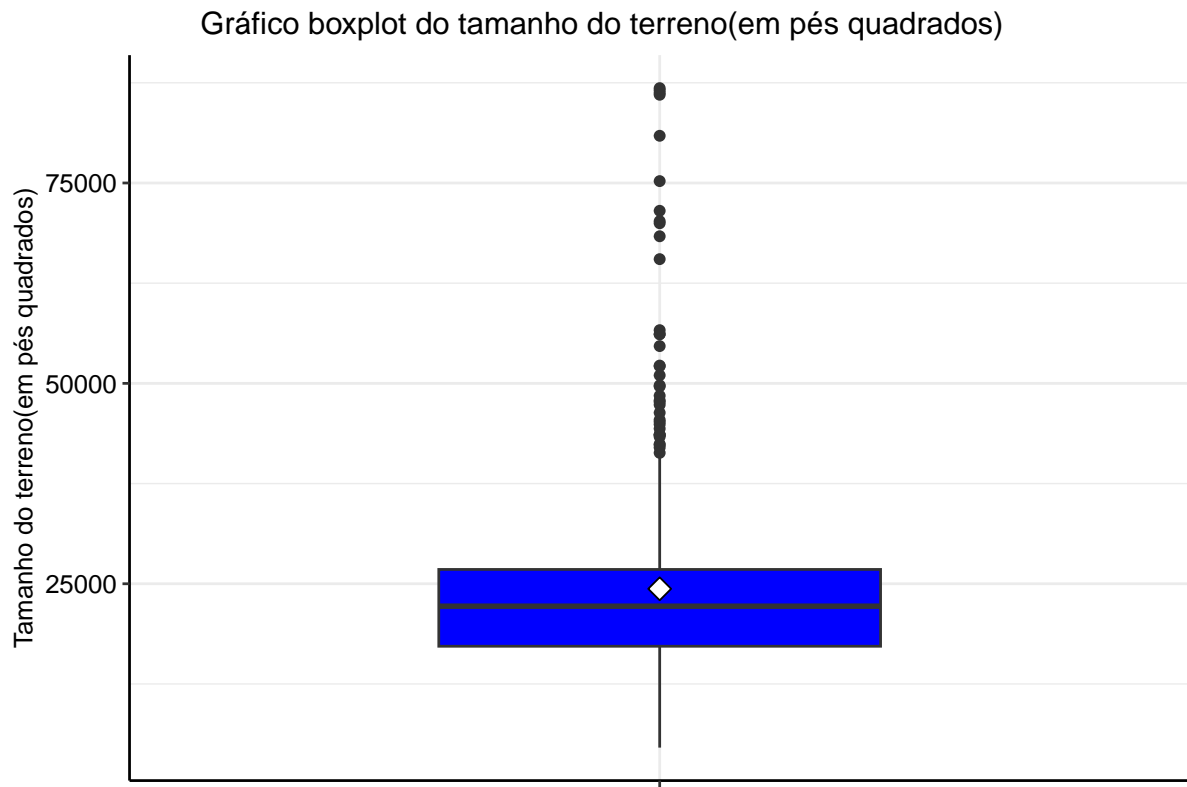


Table 4: Medidas Resumo do tamanho do terreno(em pés quadrados)

Estatística	Valor
Mínimo	4560.00
Primeiro Quartil.	17205.00
Mediana	22200.00
Média	24370.00
Terceiro Quartil	26787.00
Maximo	86830.00
Desvio Padrão	11684.08

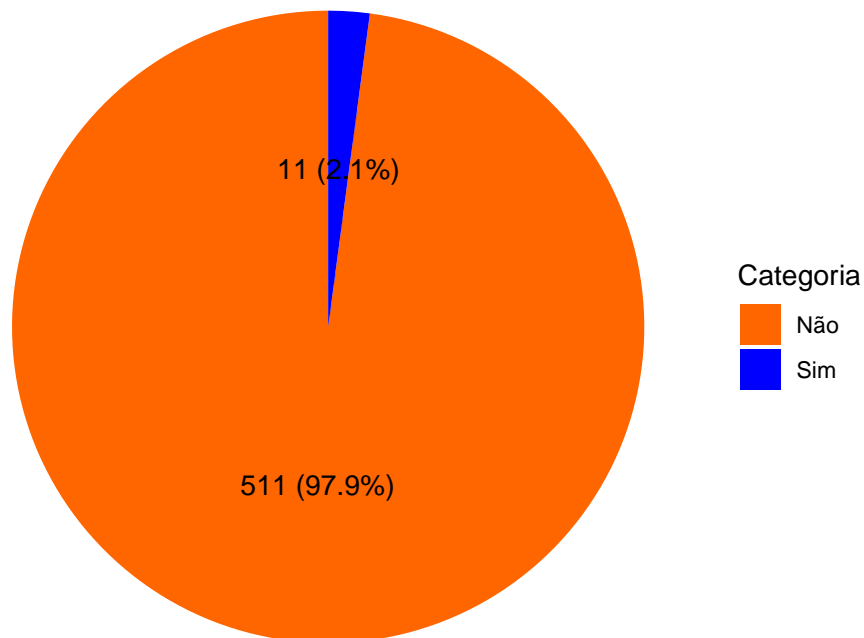
Com base a Figura 9 e no Quadro 3 comprova - se que o tamanho médio do terreno das casas 24.370 pés quadrados. Vale a pena lembrar que essa medida pode ser distorcida pela presença de outliers no limite superior do boxplot. Nesse contexto, destaca-se a mediana que é de 22.200 pés quadrados, o que significa que metade dos terrenos tem um tamanho menor ou igual a 22.200, enquanto a outra metade possui um tamanho maior ou igual. Desse modo, a mediana é um medida que pode substituir a média, tendo em vista que é resistente a outliers

Além disso, o menor terreno em que a casa construída possui 4560 pés quadrados, ao mesmo tempo que a casa o maior terreno foi de 86.830 pés quadrados. Essa grande amplitude entre o valor mínimo e máximo sugere que os terrenos variam consideravelmente em tamanho, abrangendo desde terrenos menores até propriedades bastante espaçosas. Essa amplitude pode ser analisada através do desvio padrão que é de 29.784,69 pés quadrados, trazendo à tona uma dispersão do tamanho dos terrenos em relação à média

Proximidade da rodovia

A análise descritiva da figura em questão tem como foco a variável X_{11} , que corresponde à proximidade das casas em relação à rodovia.

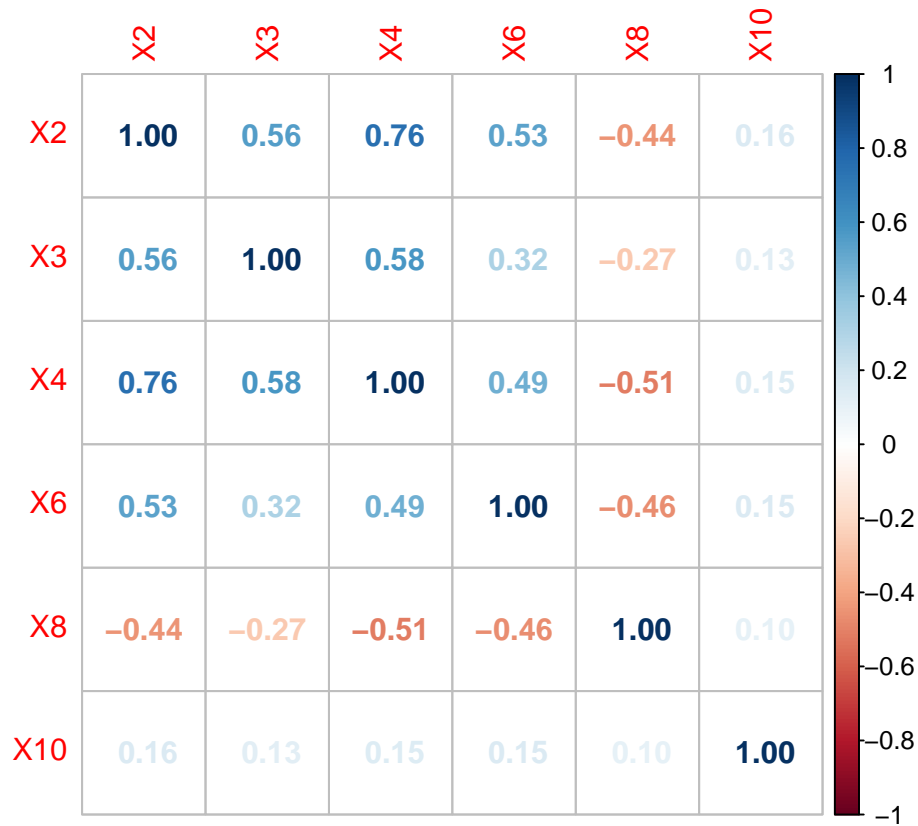
Gráfico de setor sobre proximidade das casas com a rodovia



Analisando a Figura 10, comprova-se que 97,9% das casas que foram construídas entre 1885 e 1998 não são próximas da rodovia. Apenas 11(2,1%) casas ficam perto das rodovias.

Correlograma das variáveis

Com o objetivo de analisar a existência ou não das variáveis, dispõe-se o correlograma a seguir:



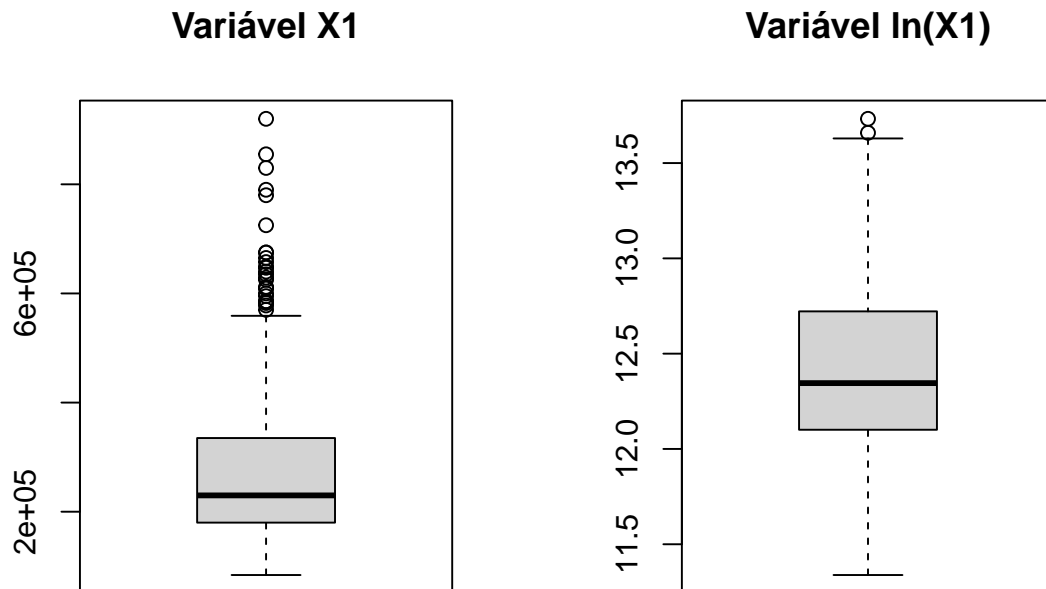
De acordo com o correlograma, conclui-se que há uma correlação:

- Moderada(Positiva) entre X_2 e X_3 , X_2 e X_4 , X_2 e X_6 , X_3 e X_4 , X_4 e X_6
- Moderada(Negativa) entre X_4 e X_8
- Forte entre X_2 e X_4

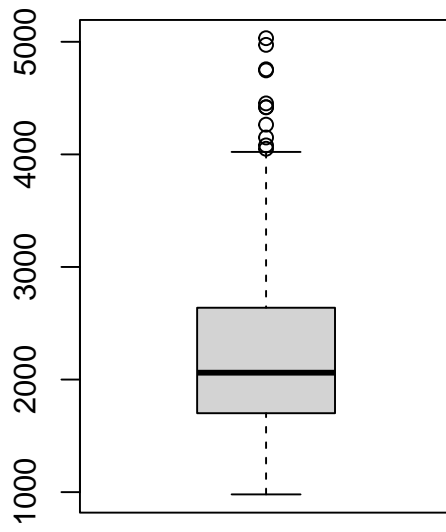
Descrição das transformações das variáveis numéricas do modelo:

Variáveis X1 X2 e X10 (numéricas do modelo)

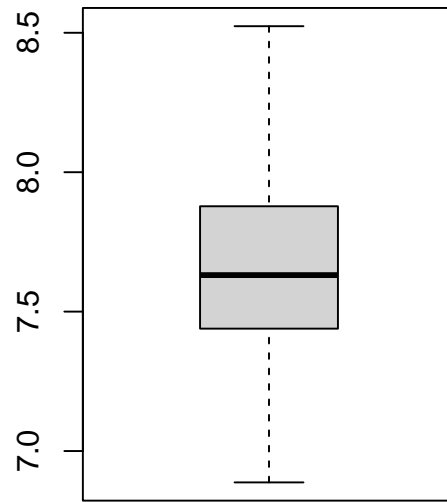
Inicialmente a variável resposta continha uma quantidade considerável de outliers, contudo, depois de aplicarmos o logaritmo natural, se comportou de maneira muito mais estável. O mesmo procedimento foi aplicado tanto para a primeira variável explicativa (X_2) quanto para a nova variável explicativa X_{10} e foram obtidos resultados semelhantes. Houveram transformações que não obtiveram outliers algum.



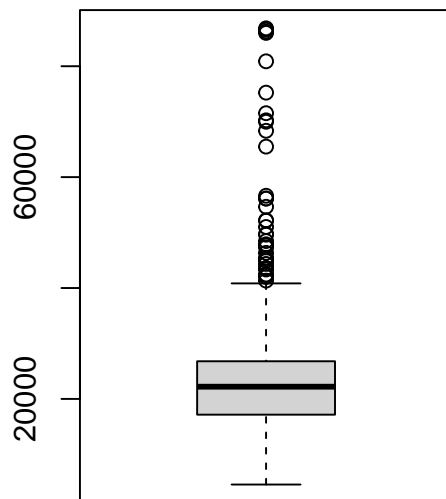
Variável X2



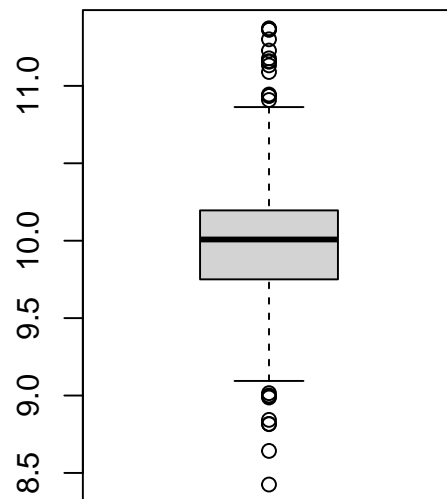
Variável $\ln(X2)$



Variável X10



Variável $\ln(X10)$



Variável X9 (Qualidade de construção da casa)

Esta é uma variável que apresenta três valores: 1, 2 e 3. Porém, na realidade, se trata de uma variável qualitativa ordinal, visto que cada valor se refere a um rótulo de construção da casa, sendo 1 - Alta qualidade; 2 - Média qualidade; 3 - Baixa qualidade. A fim de trabalhar num modelo regressivo linear, esta variável será tratada como do tipo Dummy. A análise foi executada utilizando o software R, que para entender a variável como dummy, basta ser lida como variável do tipo *factor*. Entretanto, se estivéssemos trabalhando no SAS, deveríamos realizar uma transformação, criando duas variáveis 0 - 1 que representariam as três categorias de X_9 .

Variável X8 - Idade da casa

Conforme explicitado anteriormente, a informação original da variável era o ano de construção da casa, que para trabalhar modificamos para idade da casa.

Além disso, foi considerada a possibilidade de uma transformação quadrática nesta variável, visto que havia a suspeita que tanto casas muito novas teriam um valor maior, quanto casas muito antigas talvez pudessem também ter um valor elevado, considerando o valor histórico/reliquia; levando assim a variável a assumir uma forma de parábola. Entretanto, analisando exploratoriamente, este comportamento não foi observado, na realidade notou-se uma relação quase linear no sentido de: quanto mais nova a casa; mais cara ela seria. Portanto, esta transformação foi descartada.

Seleção de variáveis

Após a análise descritiva das variáveis gerar uma breve compreensão de como as variáveis podem se comportar, foram testadas as possibilidades de modelos a partir das combinações e avaliações de como as variáveis contribuem na predição da variável resposta. Ao entrar nessa etapa, foi criado um modelo contendo todas as possíveis variáveis do banco de dados com o objetivo de inicialmente compreender quais são as possíveis variáveis que possuem potencial de explicação.

Modelo completo

```
##
## Call:
## lm(formula = lny ~ lnX2 + X3 + X4 + X5 + X6 + X7 + X8 + X9 +
##     lnX10 + X11, data = dados)
##
## Residuals:
##      Min       1Q   Median       3Q      Max
## -0.46740 -0.10321 -0.01343  0.09652  0.56170
##
## Coefficients:
##              Estimate Std. Error t value Pr(>|t|)
## (Intercept)  5.5217425   0.5406030   10.214 < 2e-16 ***
## lnX2         0.6980742   0.0615967    11.333 < 2e-16 ***
## X3           0.0002657   0.0117904     0.023  0.982
## X4           0.0214901   0.0173369     1.240  0.216
## X51          0.0024629   0.0312185     0.079  0.937
## X6           0.0215459   0.0186561     1.155  0.249
## X71          0.0294808   0.0377082     0.782  0.435
## X8           0.0044498   0.0007250     6.138 2.77e-09 ***
## X92          -0.3240606   0.0374184    -8.660 3.42e-16 ***
## X93          -0.3998579   0.0516572    -7.741 1.69e-13 ***
## lnX10        0.1400338   0.0271567     5.157 4.69e-07 ***
## X111         -0.0823877   0.0848600    -0.971  0.332
## ---
## Signif. codes:  0 '***' 0.001 '**' 0.01 '*' 0.05 '.' 0.1 ' ' 1
##
## Residual standard error: 0.1671 on 288 degrees of freedom
## Multiple R-squared:  0.8519, Adjusted R-squared:  0.8463
## F-statistic: 150.6 on 11 and 288 DF, p-value: < 2.2e-16
```

Dado este “primeiro chute” estratégico, foi percebido um valor de $R^2 \text{ ponderado} = 0,8463$, o que é muito bom sob o olhar de predição e explicação do modelo. Contudo, duas variáveis, X_3 e X_5 , não se mostraram ter muita influência no resultado de X_1 visto que, obtiveram respectivamente os seguintes p-valores, 0,982 e 0,937, que são considerados irrelevantes a quaisquer níveis de significância existentes.

```
## Anova Table (Type III tests)
##
## Response: lny
##           Sum Sq Df F value    Pr(>F)
## (Intercept)  2.9135  1 104.3267 < 2.2e-16 ***
## lnX2         3.5869  1 128.4366 < 2.2e-16 ***
## X3           0.0000  1   0.0005   0.9820
## X4           0.0429  1   1.5365   0.2161
## X5           0.0002  1   0.0062   0.9372
## X6           0.0372  1   1.3338   0.2491
## X7           0.0171  1   0.6112   0.4350
## X8           1.0520  1  37.6695 2.768e-09 ***
## X9           2.1365  2  38.2504 1.853e-15 ***
## lnX10        0.7426  1  26.5897 4.686e-07 ***
## X11          0.0263  1   0.9426   0.3324
## Residuals    8.0430 288
## ---
## Signif. codes:  0 '***' 0.001 '**' 0.01 '*' 0.05 '.' 0.1 ' ' 1
```

Dessa forma, X_3 foi retirado do modelo, e ajustado um outro modelo regressivo sem esta variável.

Modelo sem a variável X3

```
##
## Call:
## lm(formula = lny ~ lnX2 + X4 + X5 + X6 + X7 + X8 + X9 + lnX10 +
##     X11, data = dados)
##
## Residuals:
##      Min       1Q   Median       3Q      Max
## -0.46723 -0.10297 -0.01324  0.09641  0.56210
##
## Coefficients:
##              Estimate Std. Error t value Pr(>|t|)
## (Intercept)  5.520087   0.534663  10.324 < 2e-16 ***
## lnX2         0.698414   0.059622  11.714 < 2e-16 ***
## X4           0.021599   0.016620   1.300  0.195
## X51          0.002518   0.031068   0.081  0.935
## X6           0.021543   0.018623   1.157  0.248
## X71          0.029482   0.037643   0.783  0.434
## X8           0.004449   0.000723   6.154 2.52e-09 ***
## X92         -0.323958   0.037075  -8.738 < 2e-16 ***
## X93         -0.399712   0.051163  -7.813 1.04e-13 ***
## lnX10        0.139994   0.027051   5.175 4.27e-07 ***
## X111        -0.082259   0.084521  -0.973  0.331
## ---
## Signif. codes:  0 '***' 0.001 '**' 0.01 '*' 0.05 '.' 0.1 ' ' 1
##
## Residual standard error: 0.1668 on 289 degrees of freedom
## Multiple R-squared:  0.8519, Adjusted R-squared:  0.8468
## F-statistic: 166.2 on 10 and 289 DF,  p-value: < 2.2e-16
## Anova Table (Type III tests)
##
## Response: lny
##              Sum Sq Df  F value    Pr(>F)
## (Intercept)  2.9666   1 106.5936 < 2.2e-16 ***
## lnX2         3.8188   1 137.2170 < 2.2e-16 ***
## X4           0.0470   1   1.6888  0.1948
## X5           0.0002   1   0.0066  0.9355
## X6           0.0372   1   1.3381  0.2483
## X7           0.0171   1   0.6134  0.4342
## X8           1.0539   1  37.8684 2.519e-09 ***
## X9           2.1701   2  38.9874 1.023e-15 ***
## lnX10        0.7454   1  26.7823 4.268e-07 ***
## X11          0.0264   1   0.9472  0.3312
## Residuals    8.0430 289
## ---
## Signif. codes:  0 '***' 0.001 '**' 0.01 '*' 0.05 '.' 0.1 ' ' 1
```

Com a nova versão, notamos que ainda existem variáveis que não se ajustaram ao modelo. Seguindo a parsimônia de eliminá-las uma-a-uma, iremos remover agora a variável X_7

Modelo sem as variáveis X3 e X7

```
##
## Call:
## lm(formula = lny ~ lnX2 + X4 + X5 + X6 + X8 + X9 + lnX10 + X11,
##     data = dados)
##
## Residuals:
##      Min       1Q   Median       3Q      Max
## -0.44213 -0.10536 -0.01065  0.09409  0.55960
##
## Coefficients:
##              Estimate Std. Error t value Pr(>|t|)
## (Intercept)  5.5686737  0.5306982  10.493 < 2e-16 ***
## lnX2         0.6960474  0.0595060  11.697 < 2e-16 ***
## X4           0.0227446  0.0165450   1.375  0.170
## X51          0.0033876  0.0310277   0.109  0.913
## X6           0.0235023  0.0184421   1.274  0.204
## X8           0.0044053  0.0007203   6.116 3.10e-09 ***
## X92          -0.3259366  0.0369639  -8.818 < 2e-16 ***
## X93          -0.4027508  0.0509815  -7.900 5.83e-14 ***
## lnX10        0.1369554  0.0267536   5.119 5.60e-07 ***
## X111         -0.0844817  0.0844168  -1.001  0.318
## ---
## Signif. codes:  0 '***' 0.001 '**' 0.01 '*' 0.05 '.' 0.1 ' ' 1
##
## Residual standard error: 0.1667 on 290 degrees of freedom
## Multiple R-squared:  0.8516, Adjusted R-squared:  0.847
## F-statistic: 184.9 on 9 and 290 DF, p-value: < 2.2e-16
## Anova Table (Type III tests)
##
## Response: lny
##              Sum Sq Df F value    Pr(>F)
## (Intercept)  3.0602  1 110.1053 < 2.2e-16 ***
## lnX2         3.8028  1 136.8220 < 2.2e-16 ***
## X4           0.0525  1   1.8898  0.1703
## X5           0.0003  1   0.0119  0.9131
## X6           0.0451  1   1.6241  0.2035
## X8           1.0395  1  37.4004 3.103e-09 ***
## X9           2.2097  2  39.7530 5.528e-16 ***
## lnX10        0.7283  1  26.2055 5.600e-07 ***
## X11          0.0278  1   1.0015  0.3178
## Residuals    8.0601 290
## ---
## Signif. codes:  0 '***' 0.001 '**' 0.01 '*' 0.05 '.' 0.1 ' ' 1
```

Ao analisar o novo modelo, percebemos que ainda existem variáveis não ajustadas. Iremos eliminar agora a variável X_{11}

Modelo sem as variáveis X3, X7 e X11

```
##
## Call:
## lm(formula = lny ~ lnX2 + X4 + X5 + X6 + X8 + X9 + lnX10, data = dados)
##
## Residuals:
##      Min       1Q   Median       3Q      Max
## -0.44238 -0.10437 -0.00954  0.09379  0.56208
##
## Coefficients:
##              Estimate Std. Error t value Pr(>|t|)
## (Intercept)  5.5350688  0.5296362  10.451  < 2e-16 ***
## lnX2         0.6997440  0.0593914  11.782  < 2e-16 ***
## X4           0.0218205  0.0165192   1.321   0.188
## X51          0.0041836  0.0310176   0.135   0.893
## X6           0.0230901  0.0184375   1.252   0.211
## X8           0.0043861  0.0007201   6.091 3.54e-09 ***
## X92          -0.3268638  0.0369524  -8.846  < 2e-16 ***
## X93          -0.4047220  0.0509436  -7.945 4.30e-14 ***
## lnX10        0.1379009  0.0267370   5.158 4.63e-07 ***
## ---
## Signif. codes:  0 '***' 0.001 '**' 0.01 '*' 0.05 '.' 0.1 ' ' 1
##
## Residual standard error: 0.1667 on 291 degrees of freedom
## Multiple R-squared:  0.8511, Adjusted R-squared:  0.847
## F-statistic: 207.9 on 8 and 291 DF, p-value: < 2.2e-16
## Anova Table (Type III tests)
##
## Response: lny
##              Sum Sq Df F value    Pr(>F)
## (Intercept)  3.0355  1 109.2171 < 2.2e-16 ***
## lnX2         3.8581  1 138.8133 < 2.2e-16 ***
## X4           0.0485  1   1.7448   0.1876
## X5           0.0005  1   0.0182   0.8928
## X6           0.0436  1   1.5684   0.2115
## X8           1.0312  1  37.1011 3.543e-09 ***
## X9           2.2263  2  40.0510 4.317e-16 ***
## lnX10        0.7394  1  26.6016 4.631e-07 ***
## Residuals    8.0879 291
## ---
## Signif. codes:  0 '***' 0.001 '**' 0.01 '*' 0.05 '.' 0.1 ' ' 1
```

Aqui, notamos o mesmo padrão: O R^2 ajustado segue bom, porém, ainda há variáveis que não se encaixam no modelo. Iremos remover agora a variável X_5

Modelo sem as variáveis X3, X5, X7 e X11

```
##
## Call:
## lm(formula = lny ~ lnX2 + X4 + X6 + X8 + X9 + lnX10, data = dados)
##
## Residuals:
##      Min       1Q   Median       3Q      Max
## -0.44207 -0.10455 -0.00847  0.09160  0.55991
##
## Coefficients:
##              Estimate Std. Error t value Pr(>|t|)
## (Intercept)  5.5397388  0.5276140  10.500 < 2e-16 ***
## lnX2         0.6998833  0.0592825  11.806 < 2e-16 ***
## X4           0.0217831  0.0164891   1.321  0.188
## X6           0.0234049  0.0182585   1.282  0.201
## X8           0.0044054  0.0007045   6.253 1.43e-09 ***
## X92          -0.3265703  0.0368262  -8.868 < 2e-16 ***
## X93          -0.4054371  0.0505817  -8.015 2.66e-14 ***
## lnX10        0.1374732  0.0265036   5.187 4.00e-07 ***
## ---
## Signif. codes:  0 '***' 0.001 '**' 0.01 '*' 0.05 '.' 0.1 ' ' 1
##
## Residual standard error: 0.1664 on 292 degrees of freedom
## Multiple R-squared:  0.8511, Adjusted R-squared:  0.8475
## F-statistic: 238.4 on 7 and 292 DF,  p-value: < 2.2e-16
## Anova Table (Type III tests)
##
## Response: lny
##              Sum Sq Df  F value    Pr(>F)
## (Intercept)  3.0537   1 110.2417 < 2.2e-16 ***
## lnX2         3.8608   1 139.3792 < 2.2e-16 ***
## X4           0.0483   1   1.7452   0.1875
## X6           0.0455   1   1.6432   0.2009
## X8           1.0830   1  39.0990 1.427e-09 ***
## X9           2.2259   2  40.1777 3.856e-16 ***
## lnX10        0.7453   1  26.9046 4.004e-07 ***
## Residuals    8.0885 292
## ---
## Signif. codes:  0 '***' 0.001 '**' 0.01 '*' 0.05 '.' 0.1 ' ' 1
```

Aqui, notamos que o R^2 ajustado segue praticamente intacto, porém com um modelo bem mais reduzido e parsimonioso. Ainda há variáveis que sob $\alpha = 0,05$ não se ajustam, porém seus p-valores começam a não diferir muito do aceitável.

Iremos agora testar outra abordagem, que é a de utilizar métodos automáticos para nos ajudar a selecionar as variáveis ideais do modelo à partir daqui.

Métodos de seleção automática

Método Backward

Ao contrário do método forward, o método backward começa com o modelo completo e, em cada etapa, remove uma variável por vez com base nos critérios de seleção.

```
## Start:  AIC=-1068
## lny ~ lnX2 + X4 + X6 + X8 + X9 + lnX10
##
##           Df Sum of Sq      RSS      AIC
## - X6       1    0.0455   8.1340 -1068.32
## - X4       1    0.0483   8.1368 -1068.22
## <none>                      8.0885 -1068.00
## - lnX10    1    0.7453   8.8337 -1043.56
## - X8       1    1.0830   9.1715 -1032.30
## - X9       2    2.2259  10.3143  -999.08
## - lnX2     1    3.8608  11.9493  -952.93
##
## Step:  AIC=-1068.32
## lny ~ lnX2 + X4 + X8 + X9 + lnX10
##
##           Df Sum of Sq      RSS      AIC
## <none>                      8.1340 -1068.32
## - X4       1    0.0569   8.1909 -1068.23
## + X6       1    0.0455   8.0885 -1068.00
## - lnX10    1    0.8175   8.9515 -1041.59
## - X8       1    1.2021   9.3361 -1028.97
## - X9       2    2.5448  10.6787  -990.66
## - lnX2     1    4.0167  12.1506  -949.92
##
## Start:  AIC=-1068
## lny ~ lnX2 + X4 + X6 + X8 + X9 + lnX10
##
##           Df Sum of Sq      RSS      AIC
## - X6       1    0.0455   8.1340 -1068.32
## - X4       1    0.0483   8.1368 -1068.22
## <none>                      8.0885 -1068.00
## - lnX10    1    0.7453   8.8337 -1043.56
## - X8       1    1.0830   9.1715 -1032.30
## - X9       2    2.2259  10.3143  -999.08
## - lnX2     1    3.8608  11.9493  -952.93
##
## Step:  AIC=-1068.32
## lny ~ lnX2 + X4 + X8 + X9 + lnX10
##
##           Df Sum of Sq      RSS      AIC
## <none>                      8.1340 -1068.32
## - X4       1    0.0569   8.1909 -1068.23
## - lnX10    1    0.8175   8.9515 -1041.59
## - X8       1    1.2021   9.3361 -1028.97
## - X9       2    2.5448  10.6787  -990.66
## - lnX2     1    4.0167  12.1506  -949.92
##
## Start:  AIC=-1068
## lny ~ lnX2 + X4 + X6 + X8 + X9 + lnX10
##
## Call:
## lm(formula = lny ~ lnX2 + X4 + X8 + X9 + lnX10, data = dados)
##
```



```

## Residuals:
##      Min       1Q   Median       3Q      Max
## -0.45278 -0.10259 -0.00554  0.09087  0.55528
##
## Coefficients:
##              Estimate Std. Error t value Pr(>|t|)
## (Intercept)  5.462836   0.524767  10.410 < 2e-16 ***
## lnX2         0.708865   0.058931  12.029 < 2e-16 ***
## X4           0.023558   0.016449   1.432  0.153
## X8           0.004567   0.000694   6.580 2.16e-10 ***
## X92          -0.338552   0.035659  -9.494 < 2e-16 ***
## X93          -0.418206   0.049646  -8.424 1.66e-15 ***
## lnX10        0.142436   0.026248   5.427 1.21e-07 ***
## ---
## Signif. codes:  0 '***' 0.001 '**' 0.01 '*' 0.05 '.' 0.1 ' ' 1
##
## Residual standard error: 0.1666 on 293 degrees of freedom
## Multiple R-squared:  0.8502, Adjusted R-squared:  0.8472
## F-statistic: 277.2 on 6 and 293 DF, p-value: < 2.2e-16

```

Método Forward

Este método começa com um modelo vazio e adiciona uma variável por vez ao modelo, escolhendo a variável que melhora o ajuste do modelo de acordo com os critérios de seleção.

```
##
## Call:
## lm(formula = lny ~ lnX2 + X4 + X6 + X8 + X9 + lnX10, data = dados)
##
## Residuals:
##      Min       1Q   Median       3Q      Max
## -0.44207 -0.10455 -0.00847  0.09160  0.55991
##
## Coefficients:
##              Estimate Std. Error t value Pr(>|t|)
## (Intercept)  5.5397388  0.5276140  10.500 < 2e-16 ***
## lnX2         0.6998833  0.0592825  11.806 < 2e-16 ***
## X4           0.0217831  0.0164891   1.321  0.188
## X6           0.0234049  0.0182585   1.282  0.201
## X8           0.0044054  0.0007045   6.253 1.43e-09 ***
## X92          -0.3265703  0.0368262  -8.868 < 2e-16 ***
## X93          -0.4054371  0.0505817  -8.015 2.66e-14 ***
## lnX10        0.1374732  0.0265036   5.187 4.00e-07 ***
## ---
## Signif. codes:  0 '***' 0.001 '**' 0.01 '*' 0.05 '.' 0.1 ' ' 1
##
## Residual standard error: 0.1664 on 292 degrees of freedom
## Multiple R-squared:  0.8511, Adjusted R-squared:  0.8475
## F-statistic: 238.4 on 7 and 292 DF, p-value: < 2.2e-16
```

Método Stepwise

Este método realiza um processo iterativo de inclusão e exclusão de variáveis do modelo com base em critérios de seleção, como o valor-p, AIC (Akaike Information Criterion) ou BIC (Bayesian Information Criterion). Ele começa com um modelo inicial e, em cada etapa, adiciona ou remove a variável que resulta no melhor ajuste do modelo com base nos critérios escolhidos.

```
##
## Call:
## lm(formula = lny ~ lnX2 + X4 + X8 + X9 + lnX10, data = dados)
##
## Residuals:
##      Min       1Q   Median       3Q      Max
## -0.45278 -0.10259 -0.00554  0.09087  0.55528
##
## Coefficients:
##              Estimate Std. Error t value Pr(>|t|)
## (Intercept)  5.462836   0.524767  10.410 < 2e-16 ***
## lnX2         0.708865   0.058931  12.029 < 2e-16 ***
## X4           0.023558   0.016449   1.432  0.153
## X8           0.004567   0.000694   6.580 2.16e-10 ***
## X92          -0.338552   0.035659  -9.494 < 2e-16 ***
## X93          -0.418206   0.049646  -8.424 1.66e-15 ***
## lnX10        0.142436   0.026248   5.427 1.21e-07 ***
## ---
## Signif. codes:  0 '***' 0.001 '**' 0.01 '*' 0.05 '.' 0.1 ' ' 1
##
## Residual standard error: 0.1666 on 293 degrees of freedom
## Multiple R-squared:  0.8502, Adjusted R-squared:  0.8472
## F-statistic: 277.2 on 6 and 293 DF,  p-value: < 2.2e-16
```

O novo modelo, que contém todas as variáveis menos X3, X5, X7 e X11 foi realizada uma avaliação por métodos automáticos, visto que ao realizar a ANOVA do modelo novo vemos que todas as variáveis possuem significância ao nível de aproximadamente 20%.

- A análise por backward foi resultado no modelo contendo lnX2, X4, X6, X8, X9 e lnX10
- A análise por forward foi resultado no modelo contendo lnX2, X4, X6, X8, X9 e lnX10
- A análise por stepwise foi resultado no modelo contendo lnX2, X4, X8, X9 e lnX10.

Notamos que para os três métodos de seleção, os resultados de R^2 ponderado estão muito próximos, contudo a análise stepwise (mais precisa) foi a única que destoa das demais, removendo uma das variáveis (X_6). Portanto, iremos removê-la do modelo também.

Modelo sem as variáveis X3, X5, X6, X7 e X11

```
##
## Call:
## lm(formula = lny ~ lnX2 + X4 + X8 + X9 + lnX10, data = dados)
##
## Residuals:
##      Min       1Q   Median       3Q      Max
## -0.45278 -0.10259 -0.00554  0.09087  0.55528
##
## Coefficients:
##              Estimate Std. Error t value Pr(>|t|)
## (Intercept)  5.462836   0.524767  10.410 < 2e-16 ***
## lnX2         0.708865   0.058931  12.029 < 2e-16 ***
## X4           0.023558   0.016449   1.432  0.153
## X8           0.004567   0.000694   6.580 2.16e-10 ***
## X92        -0.338552   0.035659  -9.494 < 2e-16 ***
## X93        -0.418206   0.049646  -8.424 1.66e-15 ***
## lnX10       0.142436   0.026248   5.427 1.21e-07 ***
## ---
## Signif. codes:  0 '***' 0.001 '**' 0.01 '*' 0.05 '.' 0.1 ' ' 1
##
## Residual standard error: 0.1666 on 293 degrees of freedom
## Multiple R-squared:  0.8502, Adjusted R-squared:  0.8472
## F-statistic: 277.2 on 6 and 293 DF, p-value: < 2.2e-16

## Anova Table (Type III tests)
##
## Response: lny
##              Sum Sq Df F value    Pr(>F)
## (Intercept)  3.0084   1 108.3685 < 2.2e-16 ***
## lnX2         4.0167   1 144.6879 < 2.2e-16 ***
## X4           0.0569   1   2.0512   0.1532
## X8           1.2021   1  43.3022 2.158e-10 ***
## X9           2.5448   2  45.8333 < 2.2e-16 ***
## lnX10       0.8175   1  29.4476 1.205e-07 ***
## Residuals    8.1340 293
## ---
## Signif. codes:  0 '***' 0.001 '**' 0.01 '*' 0.05 '.' 0.1 ' ' 1
```

Com a nova versão do modelo, sem a variável X6, foi realizada a análise do modelo de regressão e sua respectiva ANOVA. Observa-se que na ANOVA todos os p-valores se mostram significantes, com exceção da variável X4. A qualidade de ajuste do modelo segue muito satisfatória, visto que o valor de R^2 ponderado observado foi de 0,8472.

Modelo sem as variáveis X3, X4, X5, X6, X7 e X11

A tabela de regressão linear gerada a partir do modelo anterior, sem o X_6 , foi notado que a variável X_4 parece se destoar muito ao comparar o p-valor dela com as demais. Assim, foi testado retirá-la do modelo para avaliar as possíveis interferências na explicação.

```
##
## Call:
## lm(formula = lny ~ lnX2 + X8 + X9 + lnX10, data = dados)
##
## Residuals:
##      Min       1Q   Median       3Q      Max
## -0.43646 -0.10136 -0.00669  0.09105  0.56466
##
## Coefficients:
##              Estimate Std. Error t value Pr(>|t|)
## (Intercept)  5.0501679  0.4393708  11.494 < 2e-16 ***
## lnX2         0.7590029  0.0474916  15.982 < 2e-16 ***
## X8           0.0048405  0.0006683   7.243 3.87e-12 ***
## X92        -0.3346739  0.0356198  -9.396 < 2e-16 ***
## X93        -0.4262013  0.0494188  -8.624 4.08e-16 ***
## lnX10        0.1493101  0.0258516   5.776 1.95e-08 ***
## ---
## Signif. codes:  0 '***' 0.001 '**' 0.01 '*' 0.05 '.' 0.1 ' ' 1
##
## Residual standard error: 0.1669 on 294 degrees of freedom
## Multiple R-squared:  0.8492, Adjusted R-squared:  0.8466
## F-statistic: 331.1 on 5 and 294 DF,  p-value: < 2.2e-16

## Anova Table (Type III tests)
##
## Response: lny
##              Sum Sq Df F value    Pr(>F)
## (Intercept)  3.6807  1 132.114 < 2.2e-16 ***
## lnX2         7.1160  1 255.419 < 2.2e-16 ***
## X8           1.4615  1  52.459 3.870e-12 ***
## X9           2.5235  2  45.289 < 2.2e-16 ***
## lnX10        0.9294  1  33.358 1.949e-08 ***
## Residuals    8.1909 294
## ---
## Signif. codes:  0 '***' 0.001 '**' 0.01 '*' 0.05 '.' 0.1 ' ' 1
```

Ao realizar o teste, percebe-se um valor de R^2 ponderado muito bom, sendo 0,8466, e a partir dessa medida a variável X_4 foi desconsiderada. Com o objetivo de gerar uma maior garantia foi testado uma possível redução do modelo pelo método de avaliação automático stepwise e notou-se um bom comportamento das variáveis do modelo. Por fim, foram validadas as variáveis explitivas para o MRLM.

```
## Start:  AIC=-1068.23
## lny ~ lnX2 + X8 + X9 + lnX10
##
##              Df Sum of Sq      RSS      AIC
## <none>                8.1909 -1068.23
## - lnX10    1      0.9294  9.1203 -1037.98
## - X8        1      1.4615  9.6524 -1020.97
## - X9        2      2.5235 10.7144  -991.66
## - lnX2      1      7.1160 15.3069  -882.64
##
## Call:
## lm(formula = lny ~ lnX2 + X8 + X9 + lnX10, data = dados)
##
```

```
## Residuals:
##      Min       1Q   Median       3Q      Max
## -0.43646 -0.10136 -0.00669  0.09105  0.56466
##
## Coefficients:
##              Estimate Std. Error t value Pr(>|t|)
## (Intercept)  5.0501679  0.4393708  11.494 < 2e-16 ***
## lnX2         0.7590029  0.0474916  15.982 < 2e-16 ***
## X8           0.0048405  0.0006683   7.243 3.87e-12 ***
## X92          -0.3346739  0.0356198  -9.396 < 2e-16 ***
## X93          -0.4262013  0.0494188  -8.624 4.08e-16 ***
## lnX10        0.1493101  0.0258516   5.776 1.95e-08 ***
## ---
## Signif. codes:  0 '***' 0.001 '**' 0.01 '*' 0.05 '.' 0.1 ' ' 1
##
## Residual standard error: 0.1669 on 294 degrees of freedom
## Multiple R-squared:  0.8492, Adjusted R-squared:  0.8466
## F-statistic: 331.1 on 5 and 294 DF,  p-value: < 2.2e-16
```

O método stepwise manteve as variáveis exatamente iguais. Portanto, acredito que é seguro afirmar que este é o modelo geral ótimo.

Análise dos resíduos do modelo selecionado

Gráfico de rstudent

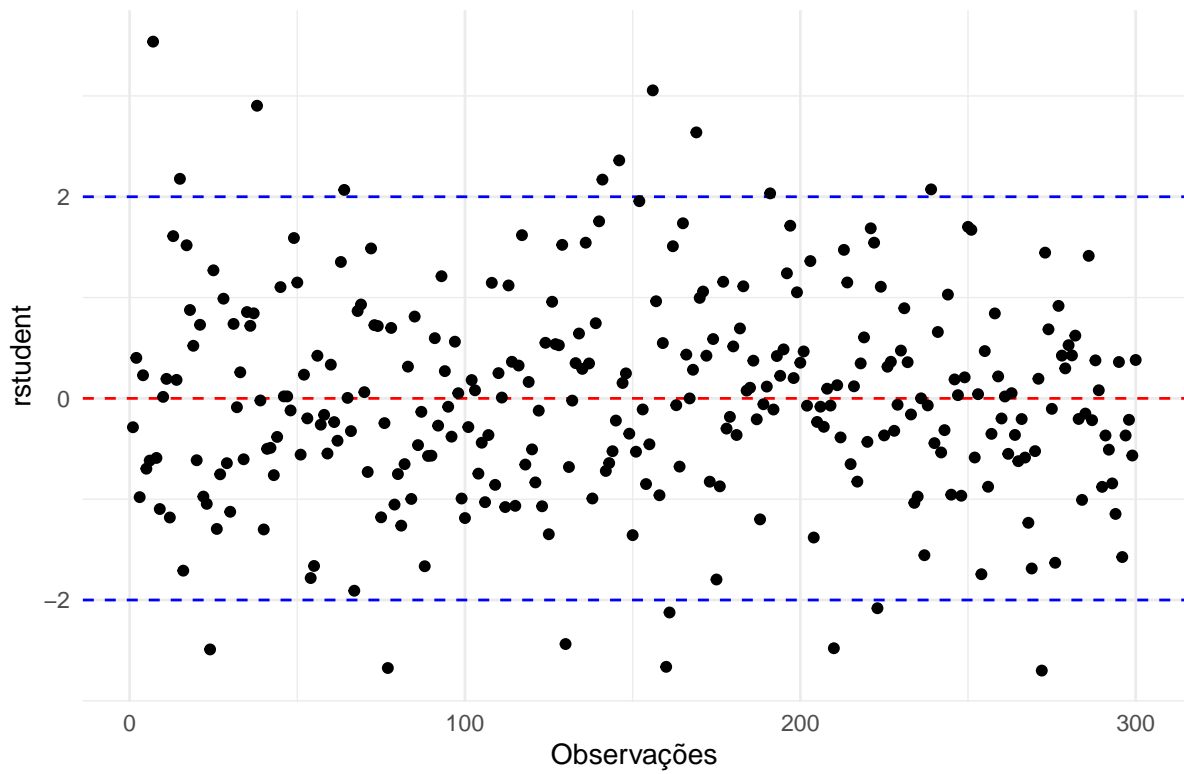


Gráfico de rstandard

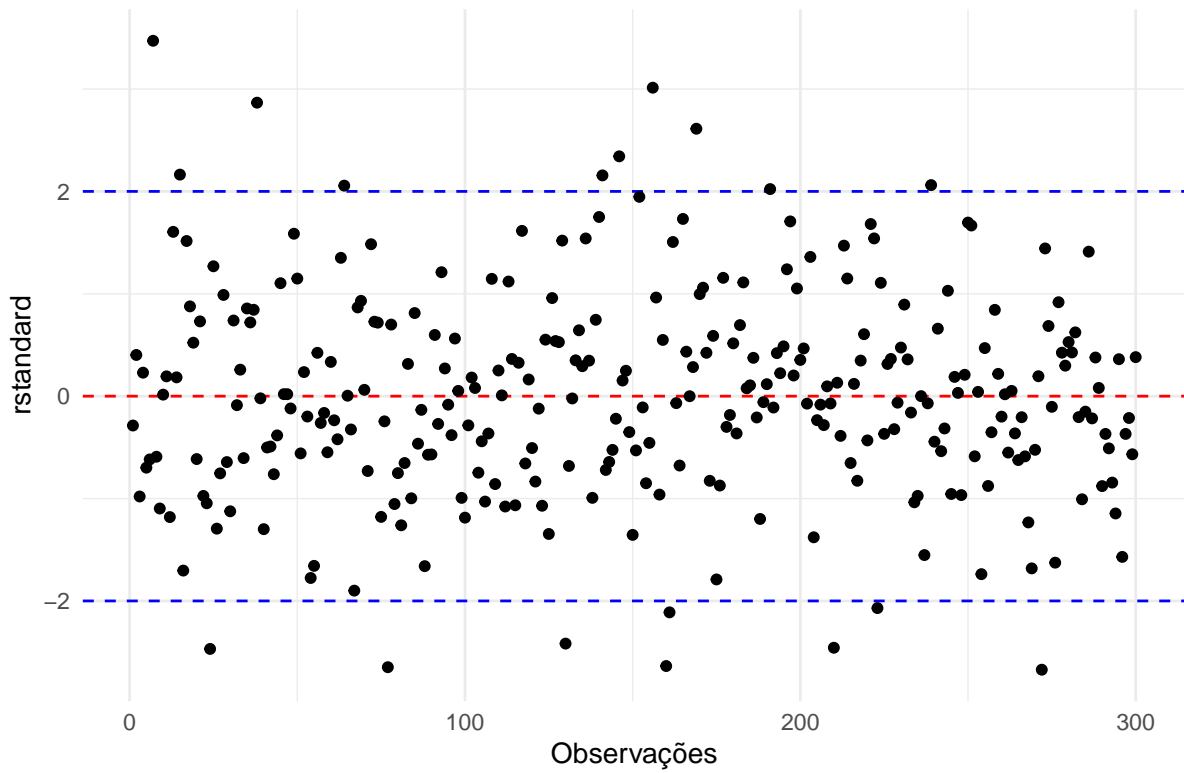
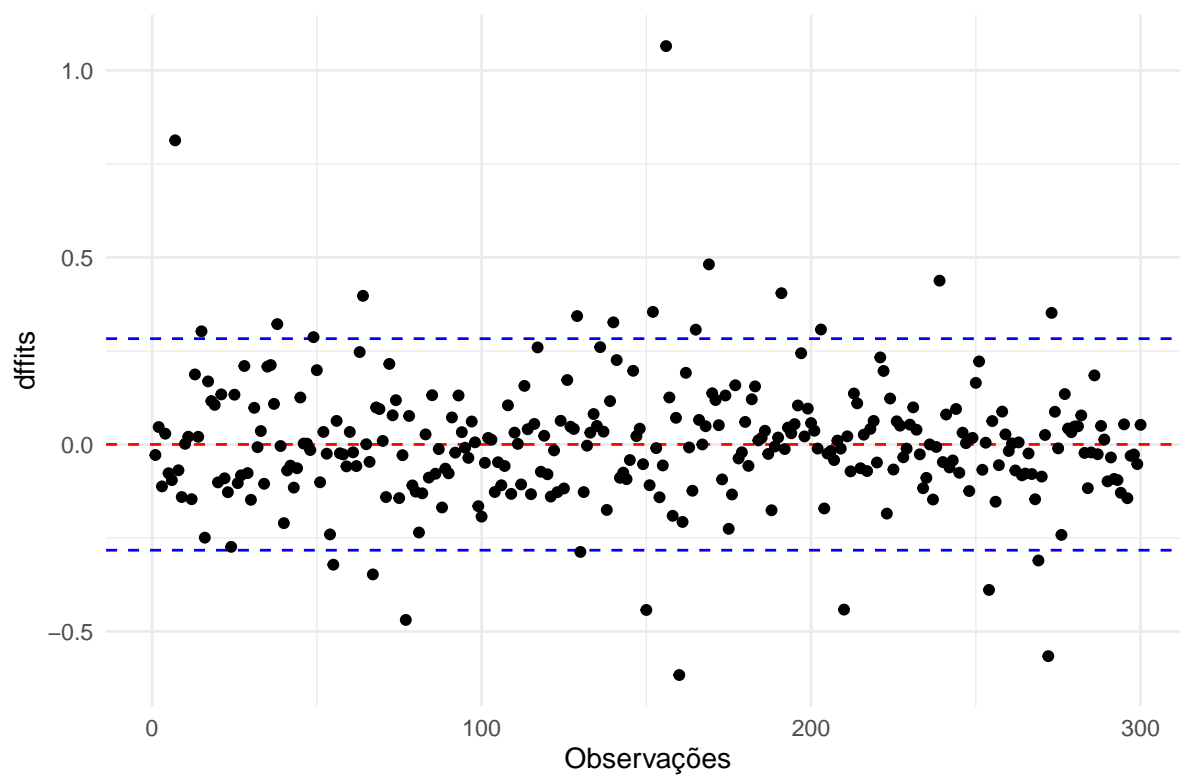
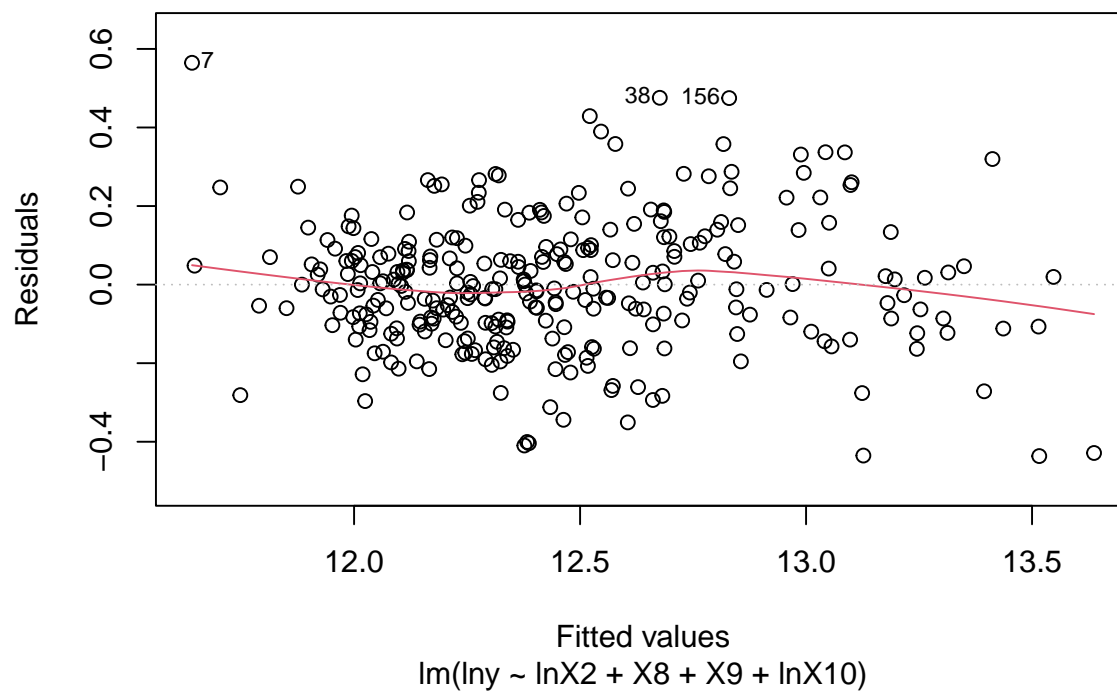
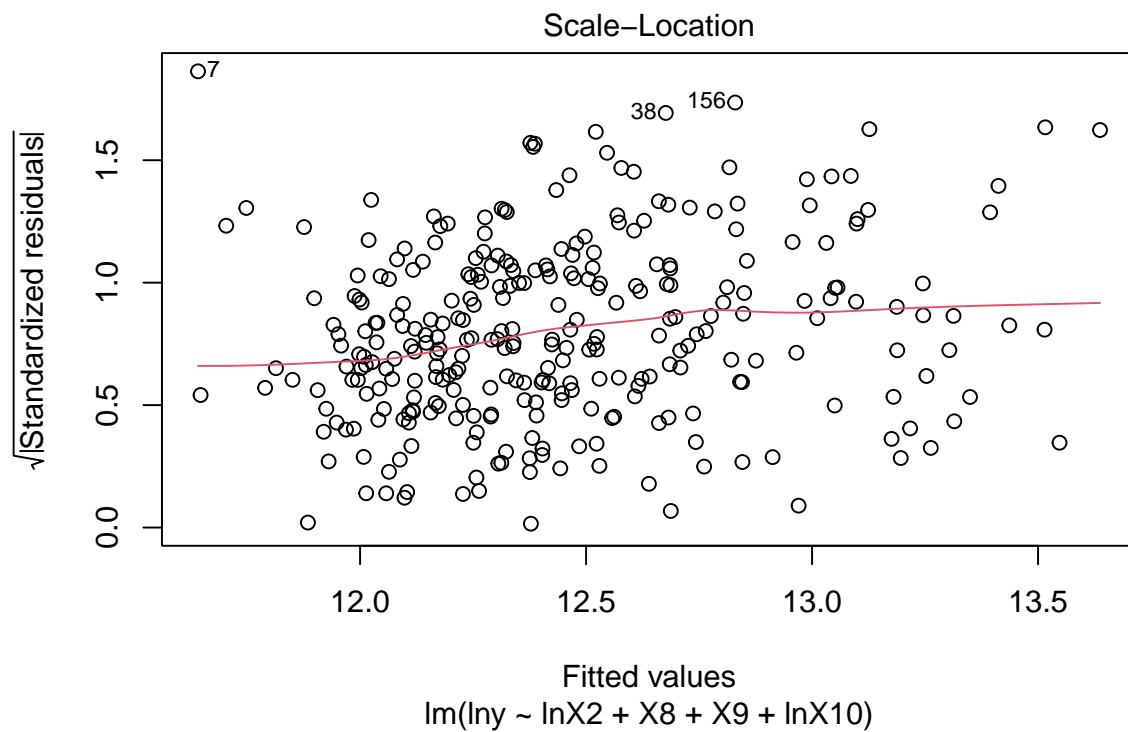
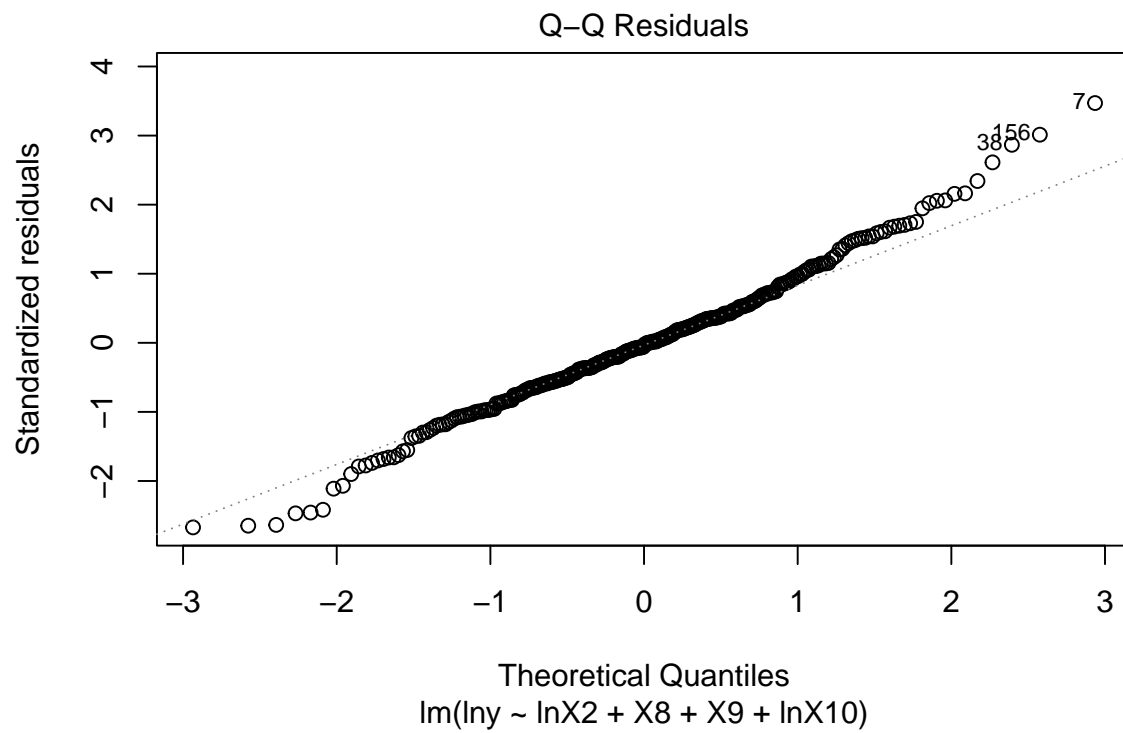


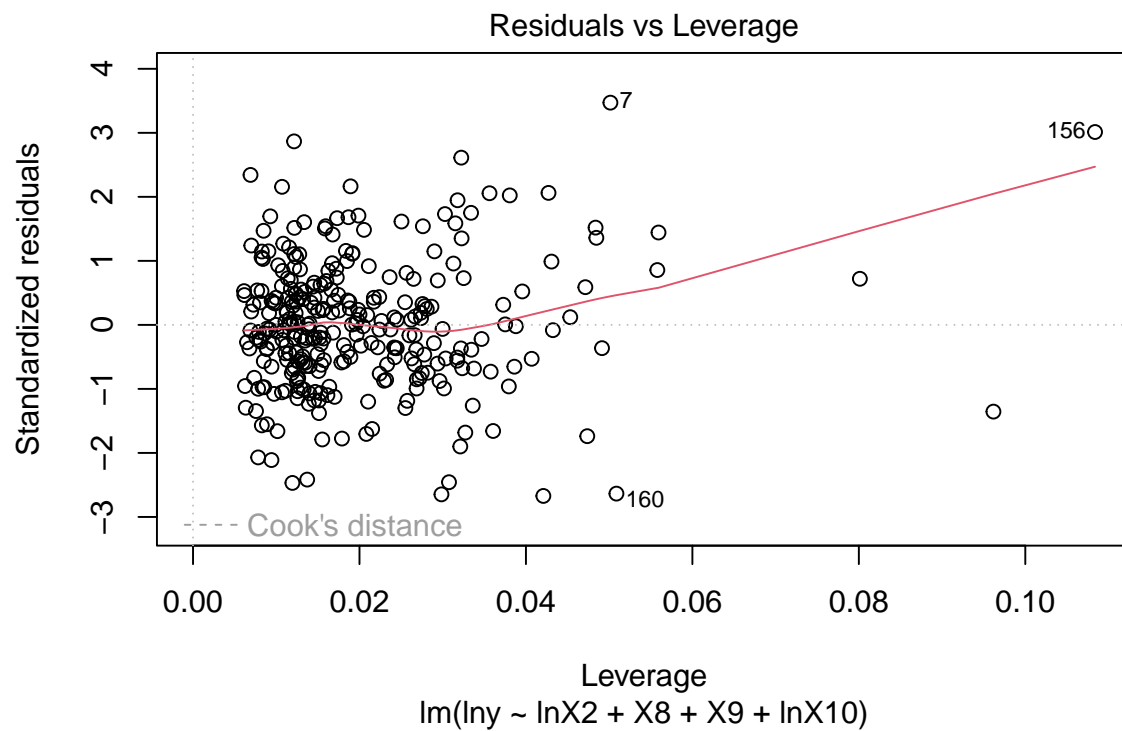
Gráfico de dffits



Residuals vs Fitted







```
##
## Shapiro-Wilk normality test
##
## data: fit7$residuals
## W = 0.9915, p-value = 0.08173
```

Estes gráficos nos ajudam a observar quais valores são possíveis outliers, assim como identificar possíveis valores mais influentes. Além disso, é necessário checar o pressuposto de normalidade dos resíduos do modelo, hipótese esta não rejeitada à $\alpha = 0,05$ (porém bem próximo; seria rejeitada a normalidade à $\alpha = 0,10$).

Análise de curvatura e suas interações

As etapas realizadas anteriormente nos permitiram selecionar um bom modelo regressivo utilizando muito menos variáveis do que o total coletado, o que facilita e barateia futuras coletas de dados, focando esforço e verba no que realmente interessa. Porém, dado que estamos em posse dessas variáveis, é interessante checar transformações e interações extras sob essas variáveis. Estas não consomem nada a mais de verba e esforço senão do computador (e dos estatísticos encarregados pela análise), portanto, devem ser executadas a fim de tornar o modelo o melhor e mais preciso possível. Uma das coisas importantes que devemos tentar corrigir é a normalidade dos resíduos, visto que pelo teste de Shapiro-Wilk, o p-valor se aproximou bastante da rejeição de H_0 .

```
##
## Call:
## lm(formula = lny ~ lnX2 * X8 * X9 * lnX10, data = dados)
##
## Residuals:
##      Min       1Q   Median       3Q      Max
## -0.41056 -0.08628  0.00131  0.08680  0.42567
##
## Coefficients:
##              Estimate Std. Error t value Pr(>|t|)
## (Intercept)   -707.85561   399.46697   -1.772   0.0775 .
## lnX2           91.26960    50.47640    1.808   0.0717 .
## X8              6.90498     3.86085    1.788   0.0748 .
## X92            551.46973   405.41430    1.360   0.1749
## X93            841.54502   406.30804    2.071   0.0393 *
## lnX10          70.56539    38.10167    1.852   0.0651 .
## lnX2:X8        -0.87767     0.48835   -1.797   0.0734 .
## lnX2:X92       -69.63619    51.25372   -1.359   0.1754
## lnX2:X93      -107.52346    51.46696   -2.089   0.0376 *
## X8:X92         -4.95072     3.93755   -1.257   0.2097
## X8:X93         -8.48484     4.03033   -2.105   0.0362 *
## lnX2:lnX10     -8.94830     4.82521   -1.854   0.0647 .
## X8:lnX10       -0.67698     0.36909   -1.834   0.0677 .
## X92:lnX10     -54.70356    38.69481   -1.414   0.1586
## X93:lnX10     -82.44905    38.75533   -2.127   0.0343 *
## lnX2:X8:X92     0.62449     0.49835    1.253   0.2112
## lnX2:X8:X93     1.08647     0.51271    2.119   0.0350 *
## lnX2:X8:lnX10    0.08620     0.04678    1.843   0.0665 .
## lnX2:X92:lnX10  6.91281     4.90249    1.410   0.1596
## lnX2:X93:lnX10 10.53226     4.91947    2.141   0.0332 *
## X8:X92:lnX10    0.48508     0.37676    1.288   0.1990
## X8:X93:lnX10    0.82160     0.38554    2.131   0.0340 *
## lnX2:X8:X92:lnX10 -0.06129    0.04778   -1.283   0.2007
## lnX2:X8:X93:lnX10 -0.10522    0.04914   -2.141   0.0331 *
## ---
## Signif. codes:  0 '***' 0.001 '**' 0.01 '*' 0.05 '.' 0.1 ' ' 1
##
## Residual standard error: 0.1535 on 276 degrees of freedom
## Multiple R-squared:  0.8803, Adjusted R-squared:  0.8703
## F-statistic: 88.23 on 23 and 276 DF,  p-value: < 2.2e-16
##
## Anova Table (Type III tests)
##
## Response: lny
##              Sum Sq Df F value    Pr(>F)
## (Intercept)    0.0740  1  3.1400 0.077498 .
## lnX2           0.0770  1  3.2695 0.071669 .
## X8             0.0754  1  3.1986 0.074798 .
```

```
## X9          0.2609    2  5.5374 0.004387 **
## lnX10       0.0808    1  3.4300 0.065089 .
## lnX2:X8     0.0761    1  3.2300 0.073395 .
## lnX2:X9     0.2555    2  5.4218 0.004903 **
## X8:X9       0.2082    2  4.4183 0.012919 *
## lnX2:lnX10  0.0810    1  3.4391 0.064736 .
## X8:lnX10    0.0793    1  3.3643 0.067701 .
## X9:lnX10    0.2629    2  5.5803 0.004210 **
## lnX2:X8:X9  0.2019    2  4.2848 0.014704 *
## lnX2:X8:lnX10 0.0800    1  3.3951 0.066463 .
## lnX2:X9:lnX10 0.2573    2  5.4611 0.004721 **
## X8:X9:lnX10 0.2058    2  4.3686 0.013556 *
## lnX2:X8:X9:lnX10 0.1996    2  4.2353 0.015428 *
## Residuals   6.5022 276
## ---
## Signif. codes:  0 '***' 0.001 '**' 0.01 '*' 0.05 '.' 0.1 ' ' 1
```

Testando a interação, notamos significância em todos os casos. Para isso, utilizaremos o método automático Stepwise para tentar selecionar as melhores.

```
## Start:  AIC=-1101.49
## lny ~ lnX2 * X8 * X9 * lnX10
##
##              Df Sum of Sq    RSS    AIC
## <none>                        6.5022 -1101.5
## - lnX2:X8:X9:lnX10    2    0.19955 6.7017 -1096.4
##
## Call:
## lm(formula = lny ~ lnX2 * X8 * X9 * lnX10, data = dados)
##
## Residuals:
##      Min       1Q   Median       3Q      Max
## -0.41056 -0.08628  0.00131  0.08680  0.42567
##
## Coefficients:
##              Estimate Std. Error t value Pr(>|t|)
## (Intercept)   -707.85561   399.46697   -1.772   0.0775 .
## lnX2           91.26960    50.47640    1.808   0.0717 .
## X8             6.90498     3.86085    1.788   0.0748 .
## X92           551.46973   405.41430    1.360   0.1749
## X93           841.54502   406.30804    2.071   0.0393 *
## lnX10         70.56539    38.10167    1.852   0.0651 .
## lnX2:X8       -0.87767     0.48835   -1.797   0.0734 .
## lnX2:X92     -69.63619    51.25372   -1.359   0.1754
## lnX2:X93    -107.52346    51.46696   -2.089   0.0376 *
## X8:X92       -4.95072     3.93755   -1.257   0.2097
## X8:X93       -8.48484     4.03033   -2.105   0.0362 *
## lnX2:lnX10   -8.94830     4.82521   -1.854   0.0647 .
## X8:lnX10     -0.67698     0.36909   -1.834   0.0677 .
## X92:lnX10   -54.70356    38.69481   -1.414   0.1586
## X93:lnX10   -82.44905    38.75533   -2.127   0.0343 *
## lnX2:X8:X92    0.62449     0.49835    1.253   0.2112
## lnX2:X8:X93    1.08647     0.51271    2.119   0.0350 *
## lnX2:X8:lnX10  0.08620     0.04678    1.843   0.0665 .
## lnX2:X92:lnX10  6.91281     4.90249    1.410   0.1596
## lnX2:X93:lnX10 10.53226     4.91947    2.141   0.0332 *
## X8:X92:lnX10   0.48508     0.37676    1.288   0.1990
## X8:X93:lnX10   0.82160     0.38554    2.131   0.0340 *
## lnX2:X8:X92:lnX10 -0.06129     0.04778   -1.283   0.2007
```

```
## lnX2:X8:X93:lnX10    -0.10522    0.04914   -2.141    0.0331 *
## ---
## Signif. codes:  0 '***' 0.001 '**' 0.01 '*' 0.05 '.' 0.1 ' ' 1
##
## Residual standard error: 0.1535 on 276 degrees of freedom
## Multiple R-squared:  0.8803, Adjusted R-squared:  0.8703
## F-statistic: 88.23 on 23 and 276 DF,  p-value: < 2.2e-16

## Anova Table (Type III tests)
##
## Response: lny
##
```

	Sum Sq	Df	F value	Pr(>F)
(Intercept)	0.0740	1	3.1400	0.077498 .
lnX2	0.0770	1	3.2695	0.071669 .
X8	0.0754	1	3.1986	0.074798 .
X9	0.2609	2	5.5374	0.004387 **
lnX10	0.0808	1	3.4300	0.065089 .
lnX2:X8	0.0761	1	3.2300	0.073395 .
lnX2:X9	0.2555	2	5.4218	0.004903 **
X8:X9	0.2082	2	4.4183	0.012919 *
lnX2:lnX10	0.0810	1	3.4391	0.064736 .
X8:lnX10	0.0793	1	3.3643	0.067701 .
X9:lnX10	0.2629	2	5.5803	0.004210 **
lnX2:X8:X9	0.2019	2	4.2848	0.014704 *
lnX2:X8:lnX10	0.0800	1	3.3951	0.066463 .
lnX2:X9:lnX10	0.2573	2	5.4611	0.004721 **
X8:X9:lnX10	0.2058	2	4.3686	0.013556 *
lnX2:X8:X9:lnX10	0.1996	2	4.2353	0.015428 *
Residuals	6.5022	276		

```
## ---
## Signif. codes:  0 '***' 0.001 '**' 0.01 '*' 0.05 '.' 0.1 ' ' 1
```

O modelo final selecionado

Observando os resultados do método Stepwise, notamos que ainda podemos fazer mais alguns ajustes manuais, a fim de chegar ao modelo ideal

```
##
## Call:
## lm(formula = lny ~ lnX2 + X8 + X9 + lnX10 + lnX2:X9 + lnX2:lnX10 +
##      lnX2:X8:X9:lnX10, data = dados)
##
## Residuals:
```

	Min	1Q	Median	3Q	Max
	-0.39718	-0.09470	0.00694	0.08953	0.44320

```
##
## Coefficients:
```

	Estimate	Std. Error	t value	Pr(> t)
(Intercept)	27.7166409	6.6652651	4.158	4.23e-05 ***
lnX2	-1.8343157	0.8738610	-2.099	0.03668 *
X8	-0.0243130	0.0103590	-2.347	0.01960 *
X92	-7.9489971	1.1347324	-7.005	1.75e-11 ***
X93	-7.8030809	1.5631612	-4.992	1.04e-06 ***
lnX10	-1.2100778	0.6428070	-1.882	0.06078 .
lnX2:X92	0.9162731	0.1455083	6.297	1.13e-09 ***
lnX2:X93	0.8752089	0.1984819	4.410	1.46e-05 ***
lnX2:lnX10	0.1495186	0.0864259	1.730	0.08470 .
lnX2:X8:X91:lnX10	0.0003350	0.0001263	2.653	0.00842 **
lnX2:X8:X92:lnX10	0.0003692	0.0001302	2.835	0.00491 **

```
## lnX2:X8:X9:lnX10 0.0003841 0.0001354 2.836 0.00489 **
## ---
## Signif. codes: 0 '***' 0.001 '**' 0.01 '*' 0.05 '.' 0.1 ' ' 1
##
## Residual standard error: 0.1553 on 288 degrees of freedom
## Multiple R-squared: 0.8722, Adjusted R-squared: 0.8673
## F-statistic: 178.6 on 11 and 288 DF, p-value: < 2.2e-16

## Anova Table (Type III tests)
##
## Response: lny
##
```

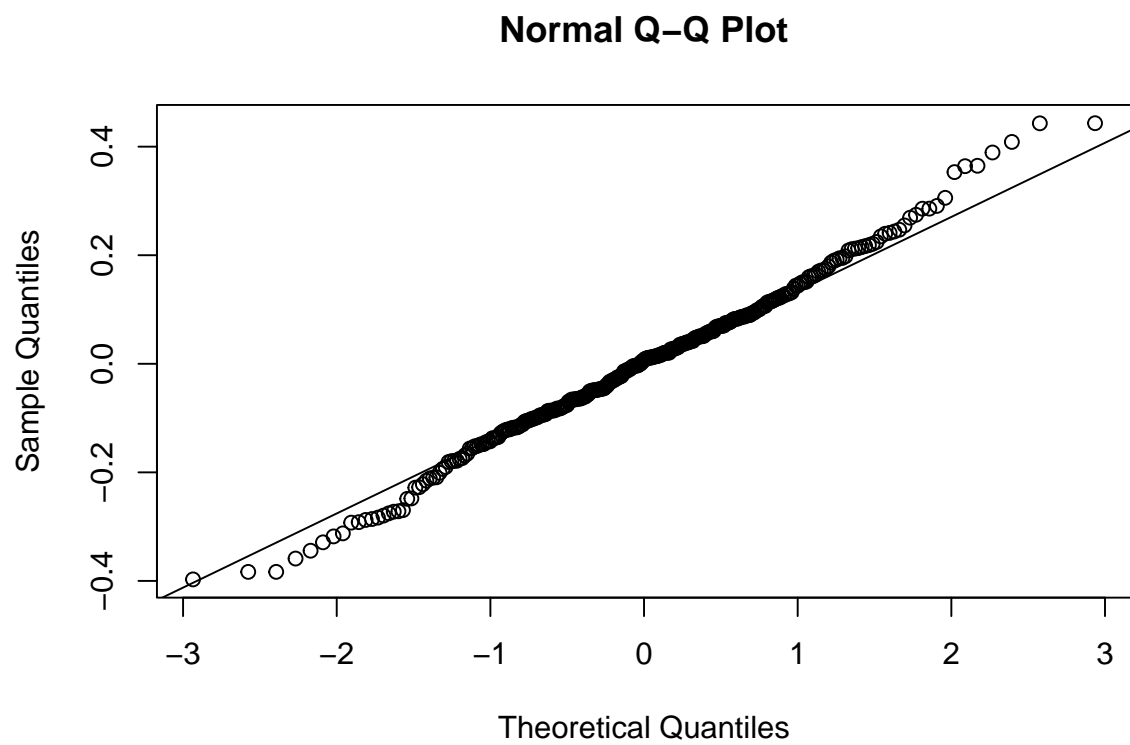
	Sum Sq	Df	F value	Pr(>F)	
(Intercept)	0.4169	1	17.2920	4.233e-05	***
lnX2	0.1062	1	4.4062	0.03668	*
X8	0.1328	1	5.5086	0.01960	*
X9	1.1841	2	24.5597	1.418e-10	***
lnX10	0.0854	1	3.5438	0.06078	.
lnX2:X9	0.9562	2	19.8326	8.523e-09	***
lnX2:lnX10	0.0722	1	2.9930	0.08470	.
lnX2:X8:X9:lnX10	0.2059	3	2.8473	0.03787	*
Residuals	6.9429	288			

```
## ---
## Signif. codes: 0 '***' 0.001 '**' 0.01 '*' 0.05 '.' 0.1 ' ' 1
```

Foi testada todas as interações das variáveis selecionadas, lnX2, X8, X9 e lnX10. Algumas interações se mostraram importantes, como lnX2:X9, lnX2:lnX10 e lnX2:X8:X9:lnX10; e foram deixadas no modelo. Por consequência, o modelo final selecionado é o que contém as variáveis explicativas lnX2, X8, X9 e lnX10; e as interações entre elas lnX2:X9, lnX2:lnX10, lnX2:X8:X9:lnX10.

Com o novo modelo em mãos, foi realizada a análise de regressão linear e sua respectiva ANOVA, resultando em uma aceitação boa de todas as componentes do modelo assim como um acréscimo no valor de R^2 ao acrescentar as interações significantes das variáveis, resultando no novo valor de R^2 ponderado sendo 0,8673.

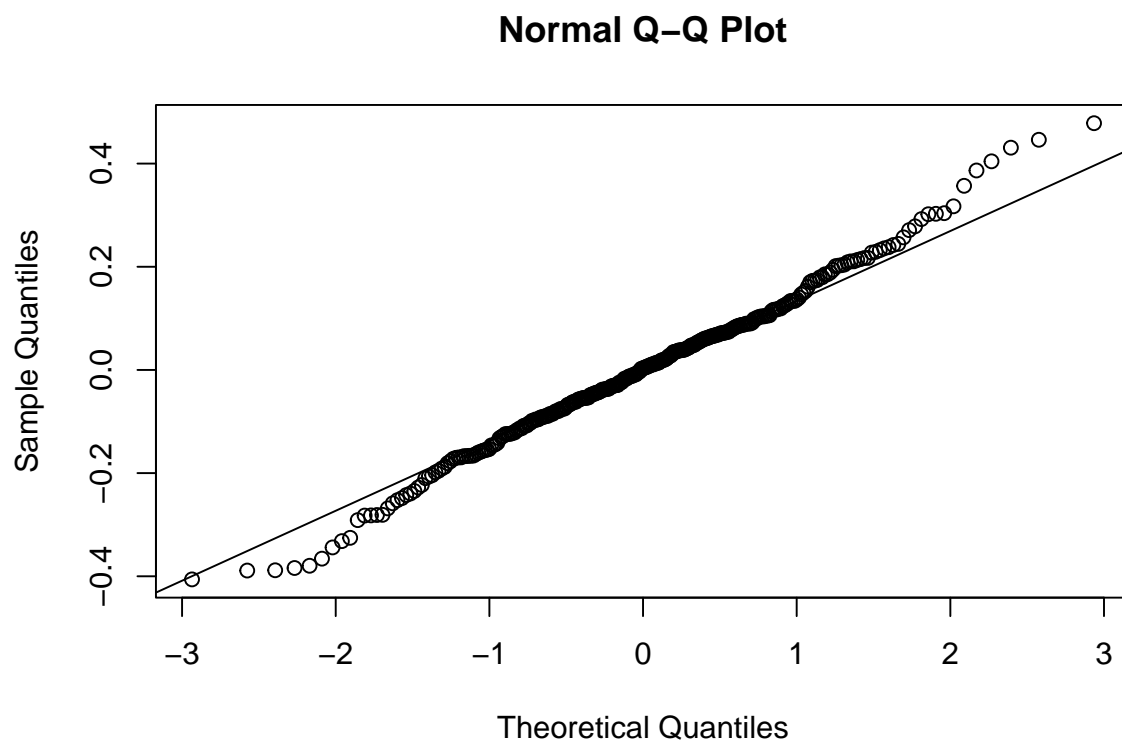
```
##
## Shapiro-Wilk normality test
##
## data: fit_f$residuals
## W = 0.99433, p-value = 0.3282
```



Ao realizar a análise de resíduos do novo modelo, vemos que existe uma aderência a normalidade com p-valor de 0.3282, satisfazendo assim a hipótese de normalidade dos resíduos.

Testes para possível melhora

```
##
## Call:
## lm(formula = lny ~ lnX2 + X8 + X9 + lnX10 + lnX2:X9 + lnX2:lnX10,
##     data = dados)
##
## Residuals:
##      Min       1Q   Median       3Q      Max
## -0.40600 -0.09328  0.00319  0.08960  0.47826
##
## Coefficients:
##              Estimate Std. Error t value Pr(>|t|)
## (Intercept) 26.8680441   6.6229007   4.057 6.39e-05 ***
## lnX2        -2.0663250   0.8639439  -2.392 0.017404 *
## X8           0.0048991   0.0006366   7.696 2.20e-13 ***
## X92         -7.1881688   1.0915188  -6.585 2.12e-10 ***
## X93         -5.7193968   1.3693187  -4.177 3.91e-05 ***
## lnX10       -1.4442760   0.6259020  -2.308 0.021728 *
## lnX2:X92     0.8547966   0.1358926   6.290 1.16e-09 ***
## lnX2:X93     0.6488140   0.1760514   3.685 0.000272 ***
## lnX2:lnX10   0.2095383   0.0817713   2.562 0.010896 *
## ---
## Signif. codes:  0 '***' 0.001 '**' 0.01 '*' 0.05 '.' 0.1 ' ' 1
##
## Residual standard error: 0.1567 on 291 degrees of freedom
## Multiple R-squared:  0.8684, Adjusted R-squared:  0.8648
## F-statistic: 240 on 8 and 291 DF, p-value: < 2.2e-16
## Anova Table (Type III tests)
##
## Response: lny
##              Sum Sq Df F value    Pr(>F)
## (Intercept)  0.4043  1 16.4579 6.395e-05 ***
## lnX2         0.1405  1  5.7204  0.01740 *
## X8           1.4550  1 59.2266 2.199e-13 ***
## X9           1.0807  2 21.9954 1.271e-09 ***
## lnX10        0.1308  1  5.3246  0.02173 *
## lnX2:X9      0.9917  2 20.1835 6.186e-09 ***
## lnX2:lnX10   0.1613  1  6.5664  0.01090 *
## Residuals    7.1488 291
## ---
## Signif. codes:  0 '***' 0.001 '**' 0.01 '*' 0.05 '.' 0.1 ' ' 1
##
## Shapiro-Wilk normality test
##
## data: fit_f2$residuals
## W = 0.9933, p-value = 0.2022
```

Ainda que na ANOVA tenhamos valores que corroborem para melhor desempenho do modelo acima, os resíduos sofrem um leve desgaste, dessa forma, compreendemos que o modelo ajustado anteriormente é o melhor.

Análise gráfica

Resíduos, outliers e valores influentes

Na análise de resíduos do modelo, foi contabilizado pela studentização e pela normalização com o objetivo de identificar valores outliers e foram notadas algumas possíveis observações como outliers. Dado o gatilho, foi feita em seguida a análise de valores influentes, que possibilita a identificação das observações que se distanciam da abordagem que o modelo propõe.

Gráfico de rstudent

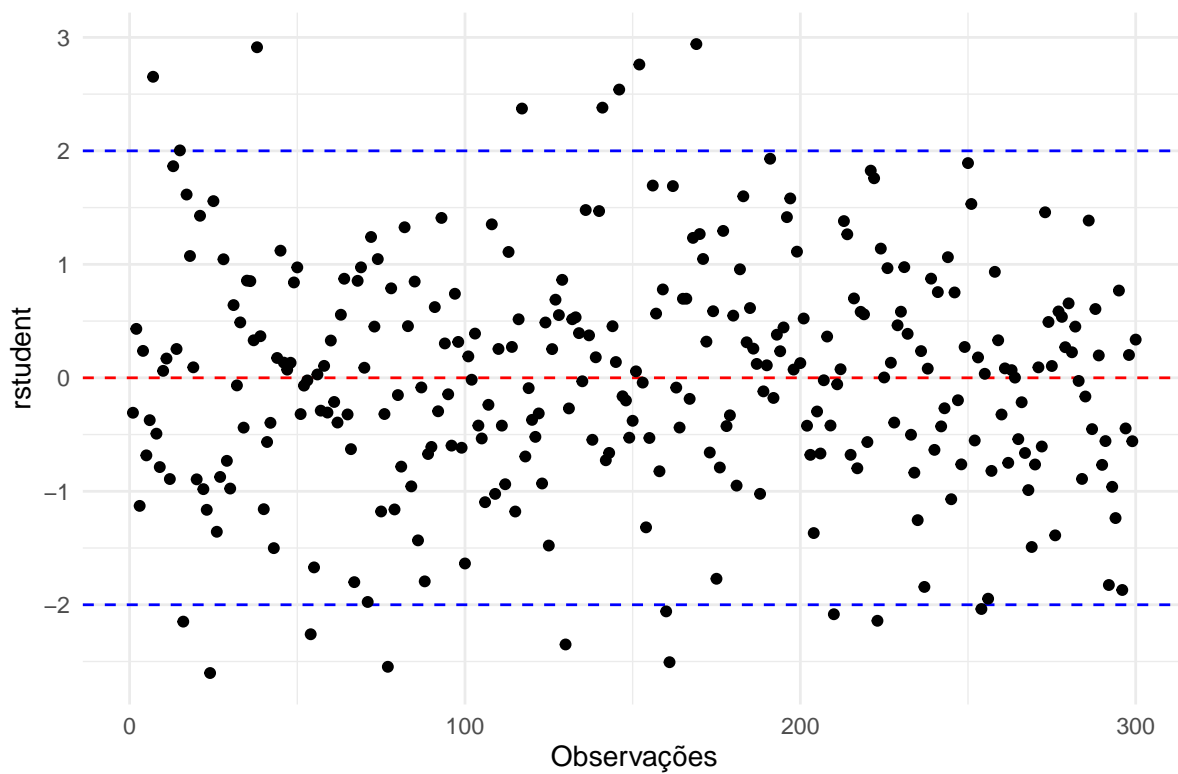


Gráfico de rstandard

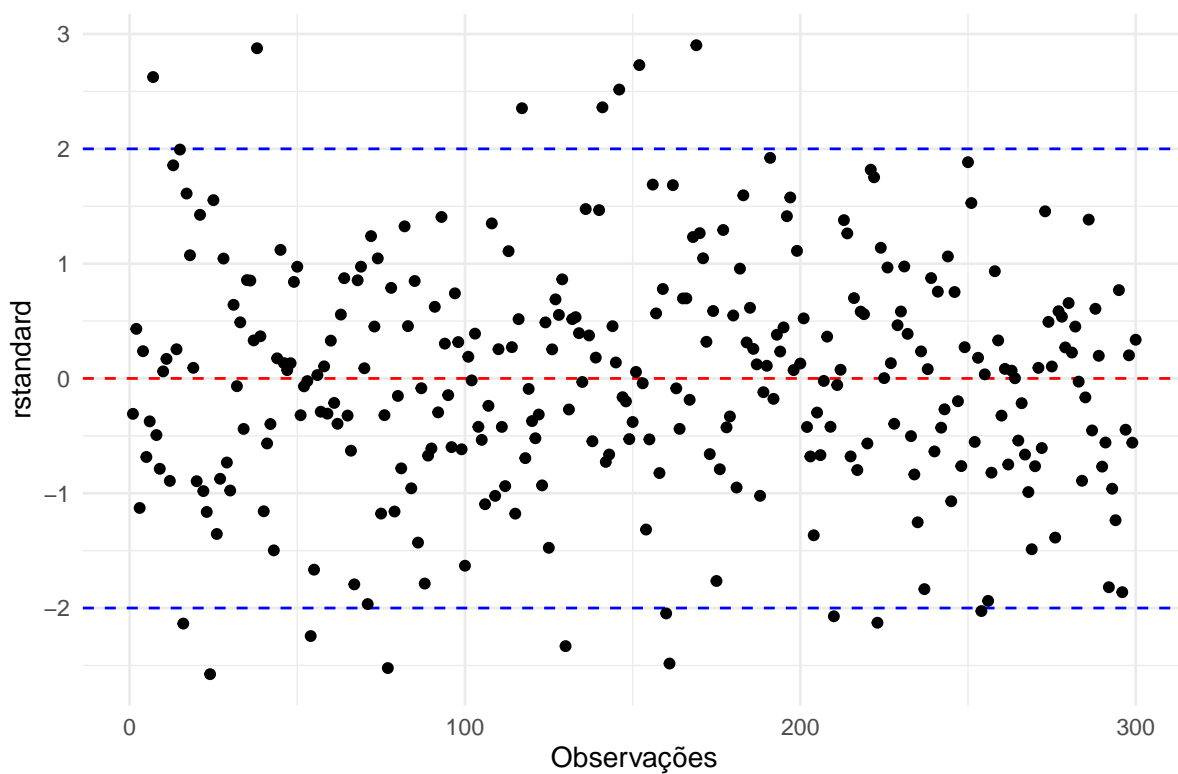
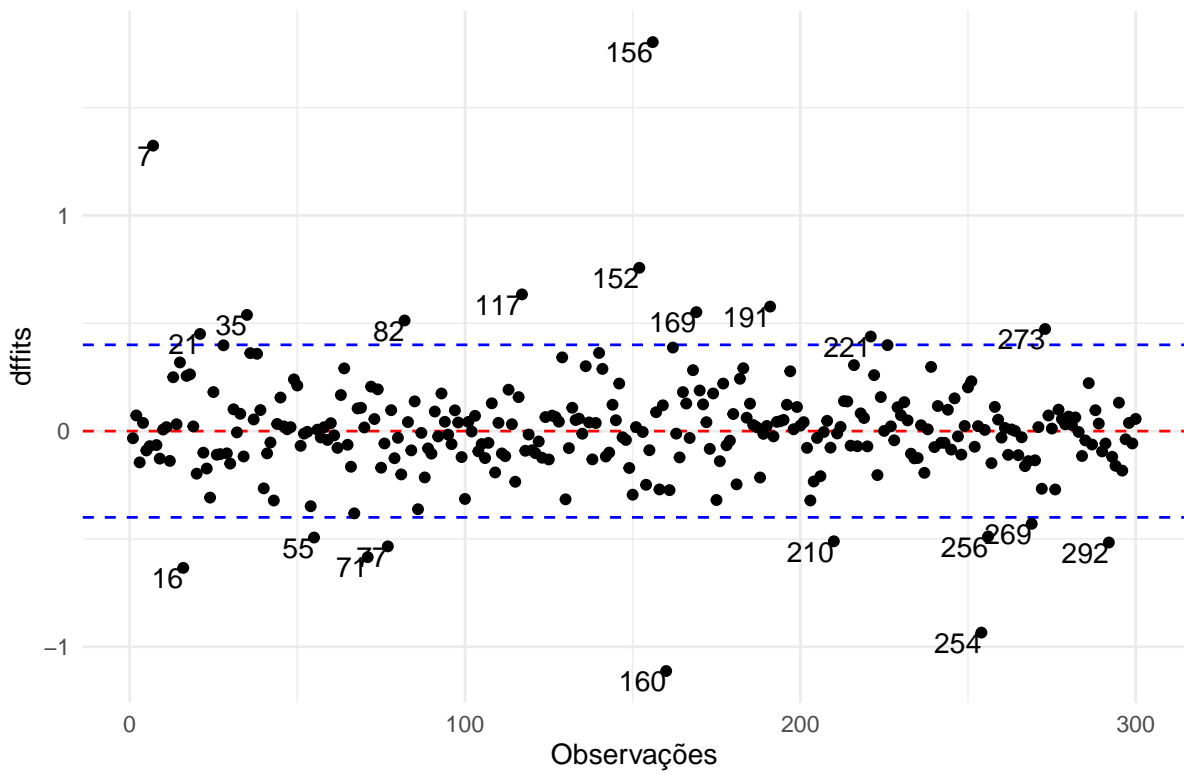
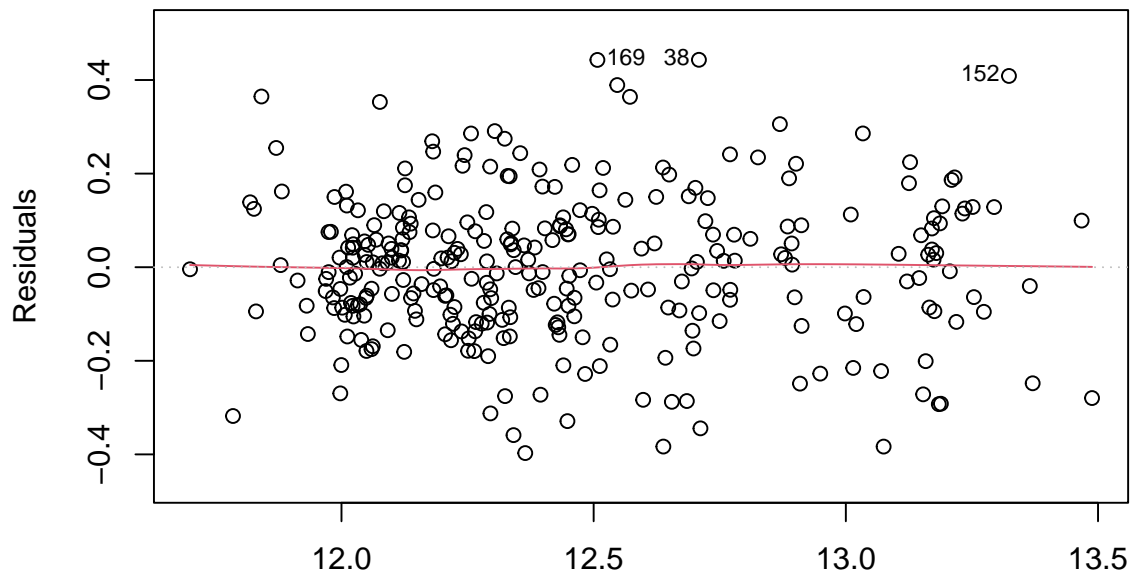


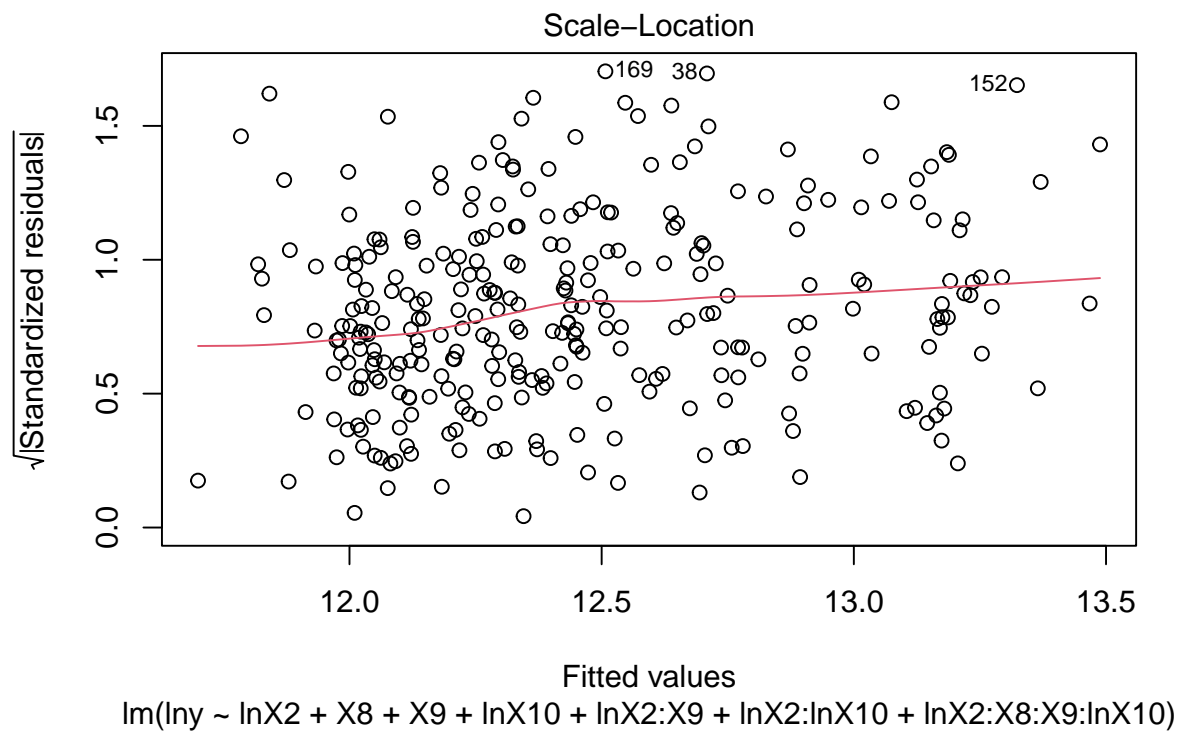
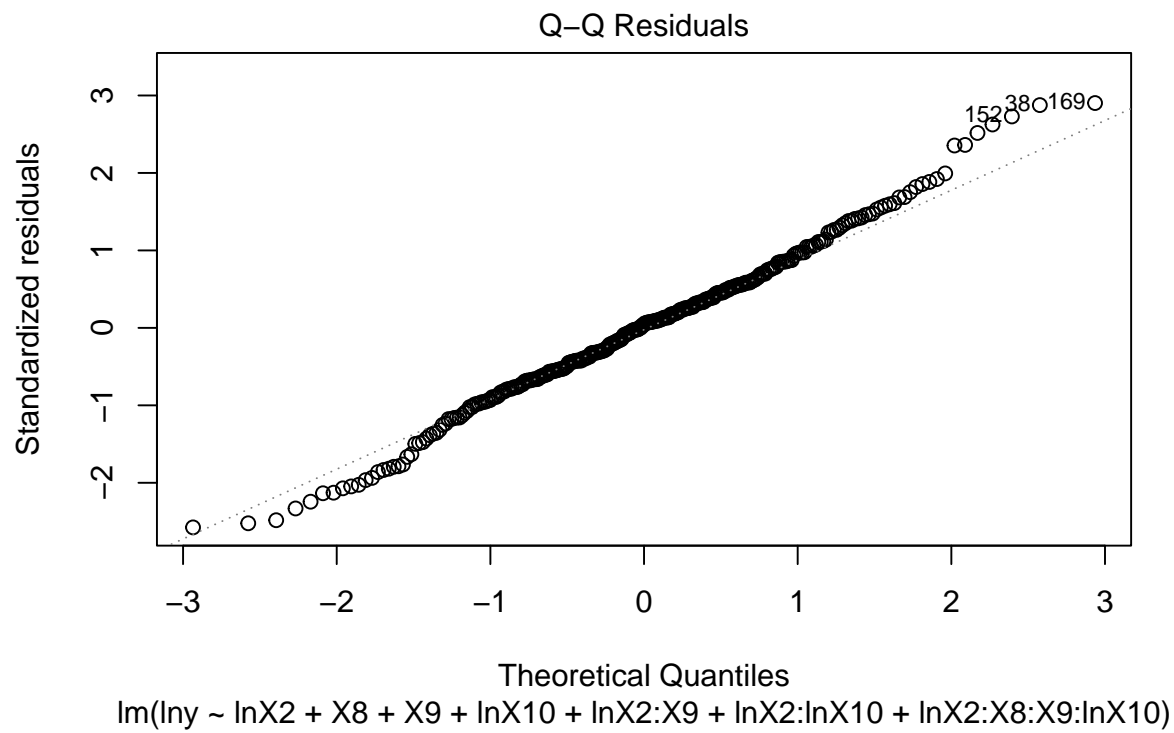
Gráfico de dfbets

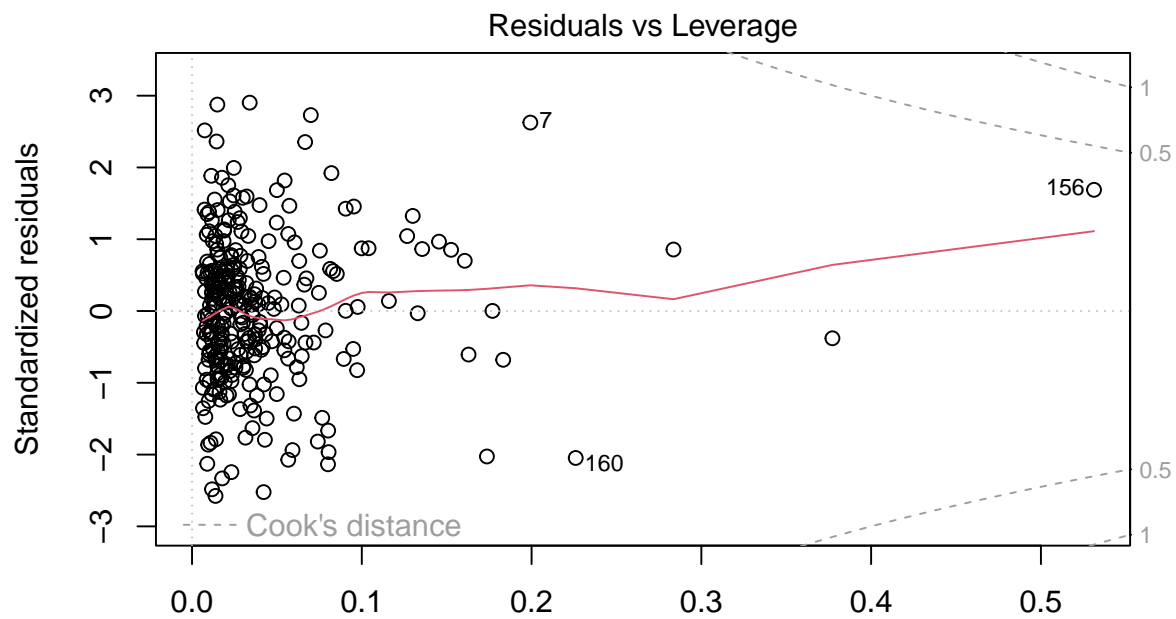


Residuals vs Fitted



Fitted values
 $\ln(\ln y \sim \ln X_2 + X_8 + X_9 + \ln X_{10} + \ln X_2 : X_9 + \ln X_2 : \ln X_{10} + \ln X_2 : X_8 : X_9 : \ln X_{10})$



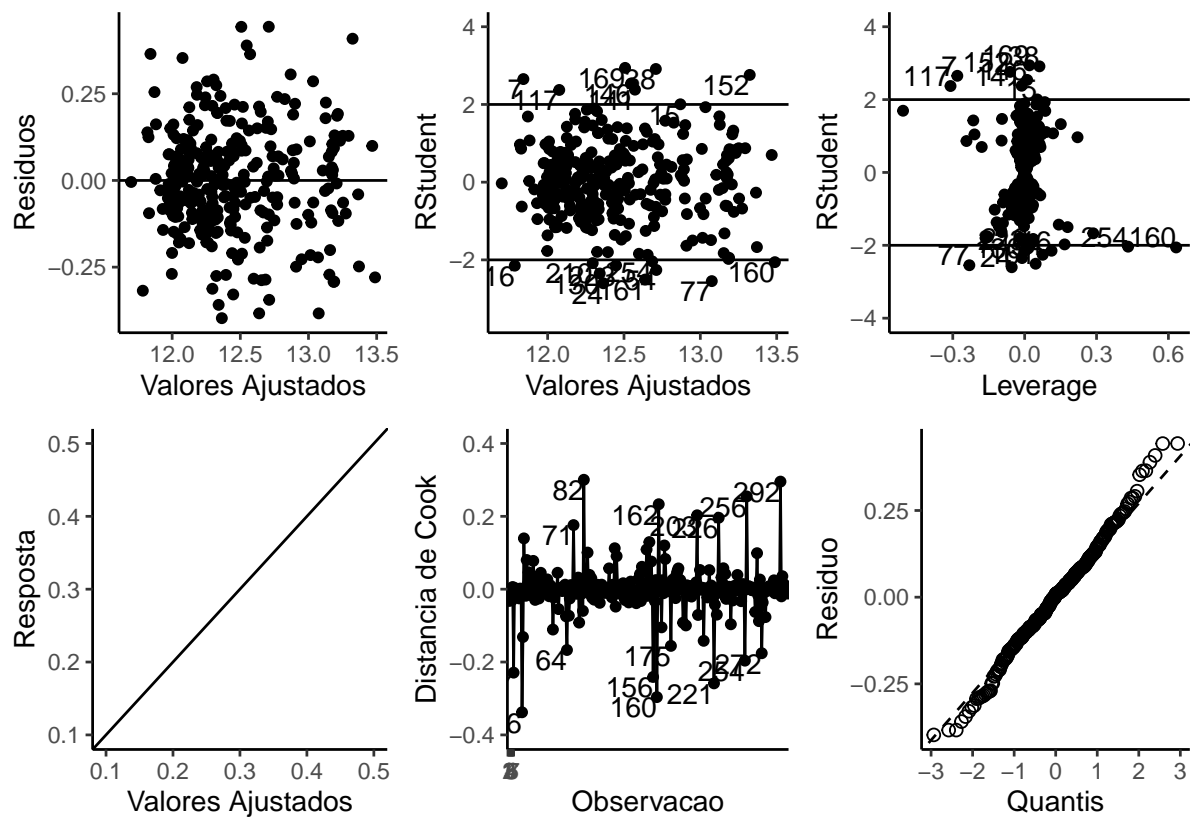


Leverage

$\text{lm}(\ln y \sim \ln X_2 + X_8 + X_9 + \ln X_{10} + \ln X_2 : X_9 + \ln X_2 : \ln X_{10} + \ln X_2 : X_8 : X_9 : \ln X_{10})$

```
## there are higher-order terms (interactions) in this model
## consider setting type = 'predictor'; see ?vif
```

##		GVIF	Df	GVIF ^{1/(2*Df)}
##	$\ln X_2$	821.1911	1	28.656432
##	X_8	447.3133	1	21.149782
##	X_9	5101962.3926	2	47.526334
##	$\ln X_{10}$	816.7249	1	28.578400
##	$\ln X_2 : X_9$	4762002.7324	2	46.714038
##	$\ln X_2 : \ln X_{10}$	2090.0177	1	45.716711
##	$\ln X_2 : X_8 : X_9 : \ln X_{10}$	428081.7900	3	8.681361



Intervalo de confiança 95% para os parâmetros do modelo

##	2.5 %	97.5 %
## (Intercept)	1.459783e+01	40.8354501464
## lnX2	-3.554280e+00	-0.1143517268
## X8	-4.470198e-02	-0.0039240920
## X92	-1.018242e+01	-5.7155769338
## X93	-1.087975e+01	-4.7264120396
## lnX10	-2.475273e+00	0.0551175148
## lnX2:X92	6.298786e-01	1.2026675499
## lnX2:X93	4.845498e-01	1.2658680547
## lnX2:lnX10	-2.058799e-02	0.3196251054
## lnX2:X8:X91:lnX10	8.644369e-05	0.0005834876
## lnX2:X8:X92:lnX10	1.128498e-04	0.0006254943
## lnX2:X8:X93:lnX10	1.175416e-04	0.0006506867

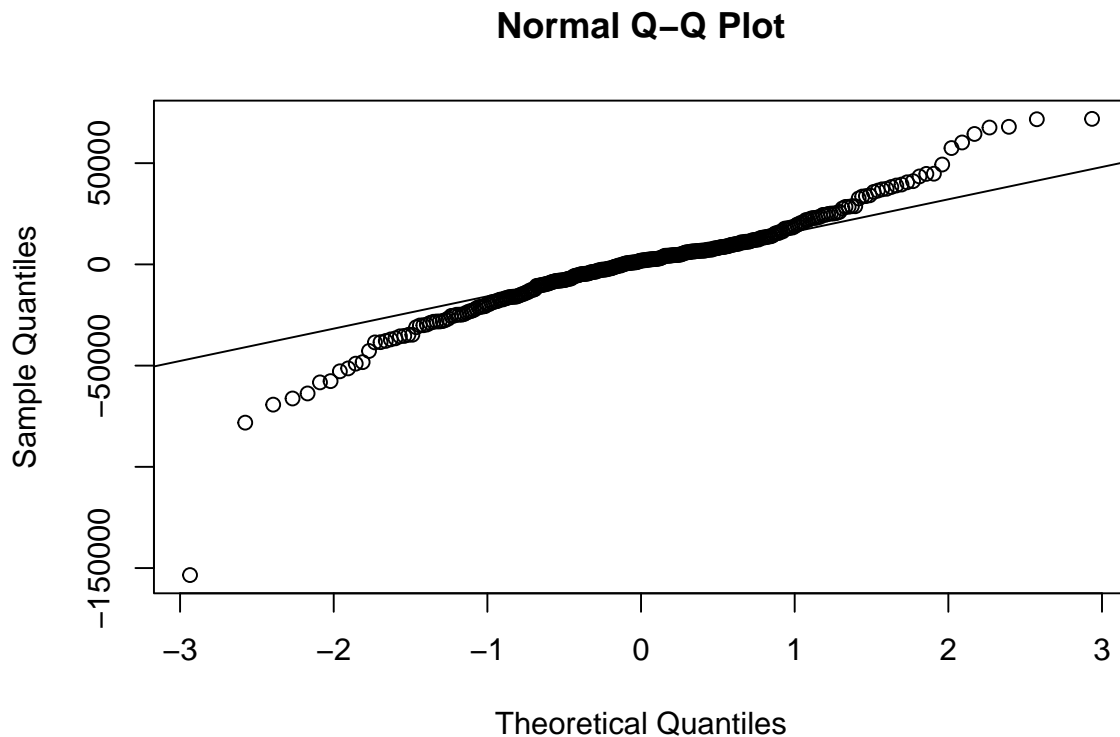
Testando retornar as variáveis originais

```
##
## Call:
## lm(formula = X1 ~ X2 + X8 + X9 + X10 + X2:X9 + X2:X10 + X2:X8:X9:X1,
##     data = dados)
##
## Residuals:
##      Min       1Q   Median       3Q      Max
## -153448  -10567    1850   10975   71881
##
## Coefficients:
##              Estimate Std. Error t value Pr(>|t|)
## (Intercept)  7.244e+05  3.199e+04  22.643 < 2e-16 ***
## X2           -1.247e+02  1.038e+01 -12.008 < 2e-16 ***
## X8           -1.860e+03  1.600e+02 -11.628 < 2e-16 ***
## X92          -3.919e+05  2.338e+04 -16.763 < 2e-16 ***
## X93          -4.760e+05  2.813e+04 -16.917 < 2e-16 ***
## X10           6.807e-01  4.796e-01   1.419   0.157
## X2:X92        8.981e+01  1.043e+01   8.609 4.90e-16 ***
## X2:X93        6.944e+01  1.463e+01   4.746 3.27e-06 ***
## X2:X10        6.995e-06  1.916e-04   0.037   0.971
## X1:X2:X8:X91  2.171e-06  8.558e-08  25.370 < 2e-16 ***
## X1:X2:X8:X92  2.810e-06  1.119e-07  25.112 < 2e-16 ***
## X1:X2:X8:X93  6.481e-06  4.693e-07  13.809 < 2e-16 ***
## ---
## Signif. codes:  0 '***' 0.001 '**' 0.01 '*' 0.05 '.' 0.1 ' ' 1
##
## Residual standard error: 24980 on 288 degrees of freedom
## Multiple R-squared:  0.9679, Adjusted R-squared:  0.9666
## F-statistic: 788.3 on 11 and 288 DF,  p-value: < 2.2e-16

## Anova Table (Type III tests)
##
## Response: X1
##              Sum Sq Df F value    Pr(>F)
## (Intercept) 3.1982e+11  1 512.6840 < 2.2e-16 ***
## X2           8.9958e+10  1 144.2039 < 2.2e-16 ***
## X8           8.4347e+10  1 135.2103 < 2.2e-16 ***
## X9           2.0878e+11  2 167.3402 < 2.2e-16 ***
## X10          1.2564e+09  1   2.0140   0.1569
## X2:X9         4.6272e+10  2  37.0872 4.66e-15 ***
## X2:X10         8.3162e+05  1   0.0013   0.9709
## X1:X2:X8:X9  6.6420e+11  3 354.9085 < 2.2e-16 ***
## Residuals    1.7966e+11 288
## ---
## Signif. codes:  0 '***' 0.001 '**' 0.01 '*' 0.05 '.' 0.1 ' ' 1
##
## there are higher-order terms (interactions) in this model
## consider setting type = 'predictor'; see ?vif

##              GVIF Df GVIF^(1/(2*Df))
## X2           26.62968  1      5.160396
## X8            4.12301  1      2.030520
## X9          1173.03212  2      5.852312
## X10          12.40244  1      3.521709
## X2:X9        1898.24385  2      6.600670
## X2:X10         21.84174  1      4.673515
## X1:X2:X8:X9  841.01729  3      3.072327
```

```
##  
## Shapiro-Wilk normality test  
##  
## data: fit$residuals  
## W = 0.93376, p-value = 2.589e-10
```



Foi testada a possibilidade de retorno das variáveis do modelo ao seu formato original, uma vez que X2 e X10 foram manipuladas na escala de logaritmo natural. O modelo original possui um ótimo valor de R2 ajustado de 0.9666. Contudo X10 perde sua significância, assim como a interação entre X2 e X10 também.

Porém, a hipótese de normalidade dos resíduos é contundentemente descartada, portanto, é melhor seguir com o modelo com as variáveis numéricas transformadas em logaritmo natural, apenas fazendo a desconversão para apresentar os resultados ao cliente.

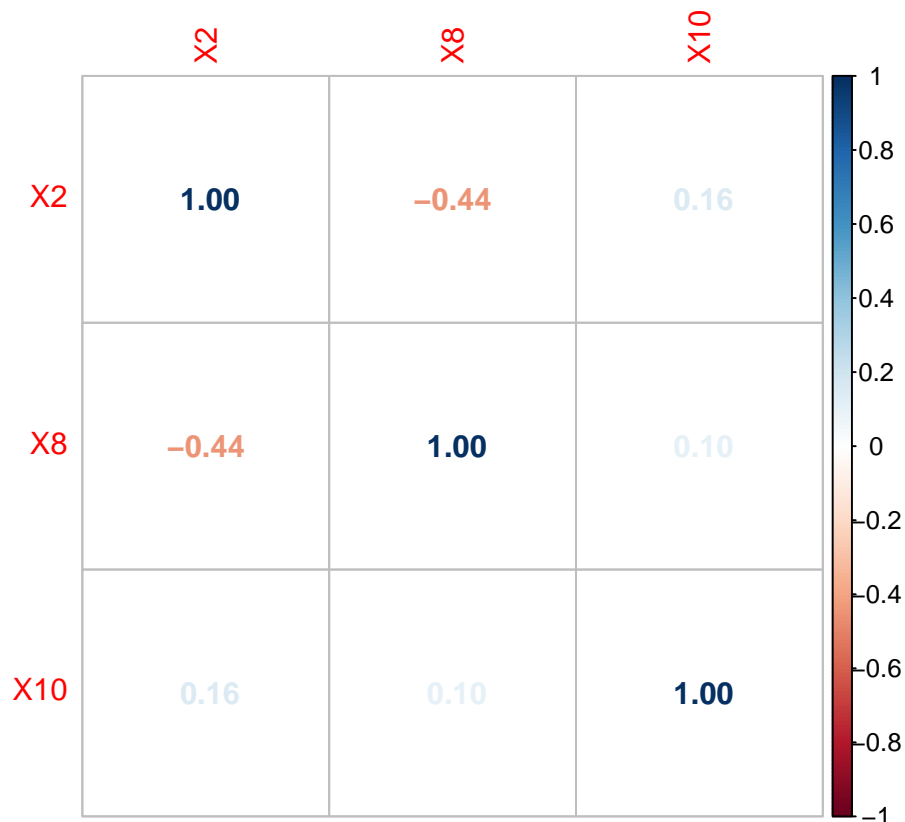
Multicolinearidade

	dados.lnX2	dados.X8	dados.lnX10
dados.lnX2	1.0000000	0.4284081	0.2492975
dados.X8	0.4284081	1.0000000	-0.0769225
dados.lnX10	0.2492975	-0.0769225	1.0000000

	dados.X2	dados.X8	dados.X10
dados.X2	1.0000000	0.4232893	0.2086116
dados.X8	0.4232893	1.0000000	-0.1280248
dados.X10	0.2086116	-0.1280248	1.0000000

Correlograma das variáveis escolhidas no modelo

Para as variáveis escolhidas no modelo, tem-se o correlograma a seguir:



Foram geradas as matrizes de correlação entre as variáveis numéricas do modelo transformado e o das variáveis originais onde não foi notada grandes evidências de multicolinearidade entre as variáveis. A única diferença seria quanto a correlação entre X8 e lnX10, onde no modelo de variáveis originais ela é um pouco maior, saindo de -0.07 para -0.12, ou seja, ainda que exista diferença não é algo significativo. A mesma situação acontece com lnX2 e X8.

Testando o ajuste do modelo no conjunto de teste

Em ln, o modelo transformado está com um MSE baixíssimo (0.0012098) dos valores preditos pros valores reais. Ao desfazer a transformação e retornar ao modelo original, o MSE sobe para um valor aparentemente alto (1.1310586×10^7), mas que deve ser analisado com calma, pela escala da variável.

Concluimos portanto que o modelo treinado com o conjunto de treino de 300 observações prediz bem quando aplicado no conjunto de testes de 222 observações.

Validação do modelo pelos coeficiente de Mallow.

Foi desenvolvido, para princípio de comparação pelo coeficiente de Mallow 4 modelos comparativos, onde o primeiro é o modelo final gerado com as transformações, o segundo modelo seria o modelo final sem as transformações e, em seguida, os mesmos dois modelos com e sem a transformação, sem as interações das variáveis.

Coeficiente de Mallow pro modelo sem interações:

61.8879148

Coeficiente de Mallow pro modelo com as variáveis $\ln X_2$, X_4 , X_5 , X_6 , X_8 , X_9 e $\ln X_{10}$:

63.4644446

Coeficiente de Mallow pro modelo com as variáveis $\ln X_2$, X_4 , X_8 , X_9 e $\ln X_{10}$:

61.4415707

Coeficiente de Mallow pro modelo com todas as variáveis e todas as interações possíveis entre elas:

134

Coeficiente de Mallow pro modelo selecionado:

14.2728251

Com isso, concluímos que, dos possíveis modelos analisados, o modelo escolhido é o que apresenta o melhor coeficiente de Mallows, com o valor observado (14.2728251) se aproximando do valor ótimo de igualdade à $p = 12 + 1 = 13$.

Análise de crescimento de informação

A partir do gatilho que as interações mostraram ter na análise de validação pelo coeficiente de Mallows, foi analisado o crescimento de explicação que cada uma das variáveis do modelo podem ter, sendo representada pelo gráfico de cascata abaixo:

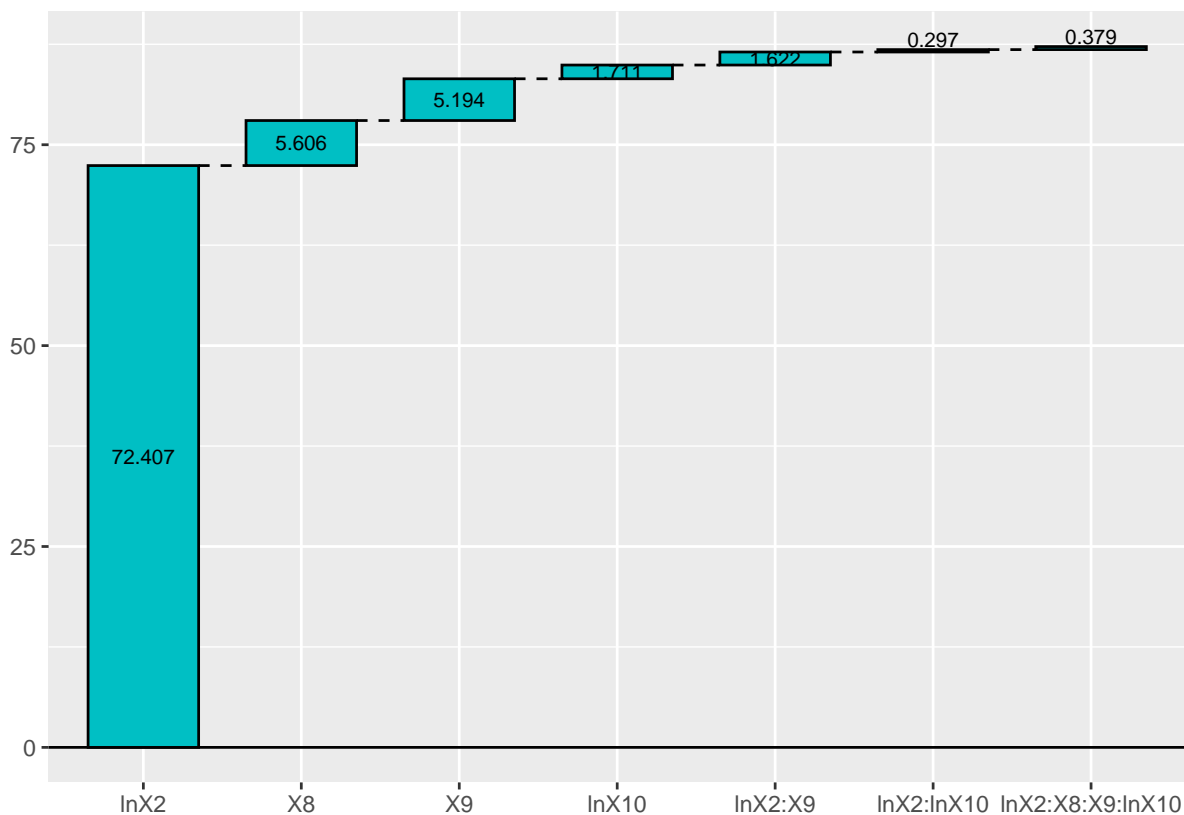
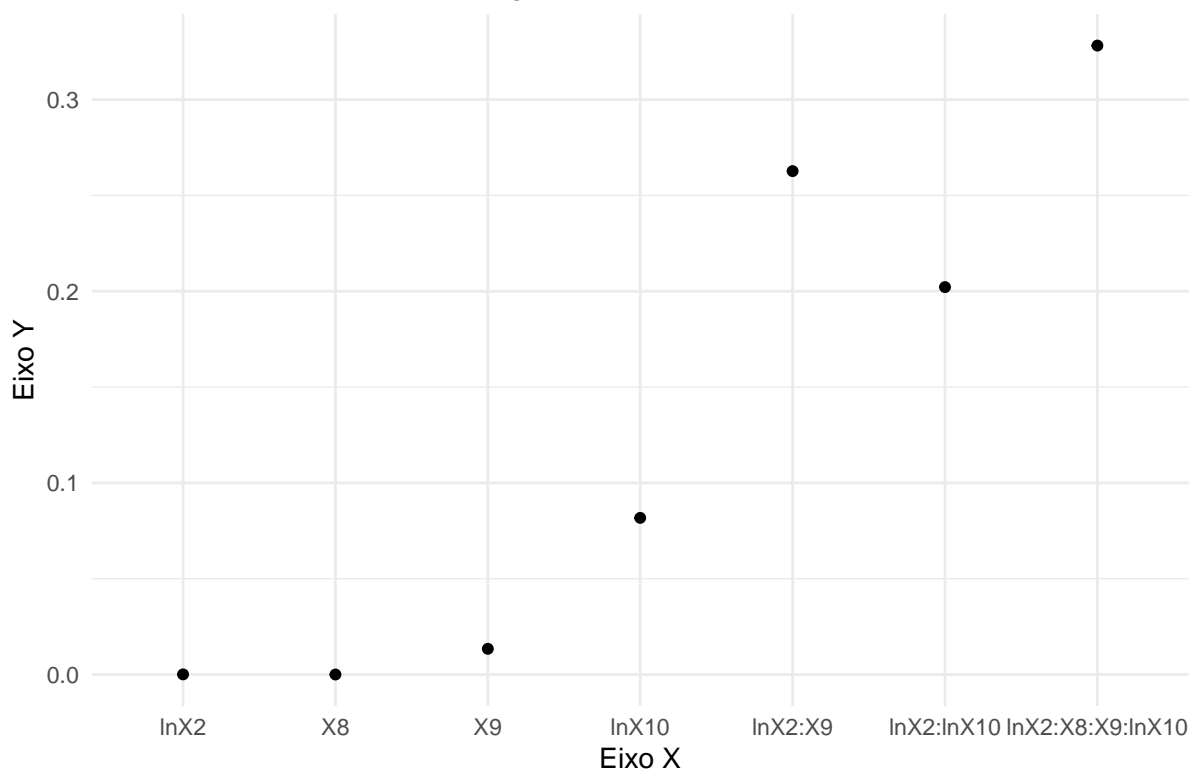


Gráfico de Linhas da convergência do p-valor



Em contrapartida, foi analisado o p-valor do modelo conforme é acrescentada cada uma das variáveis. A partir do momento em que cruzamos as informações dos dois gráficos, vemos que conforme acrescentamos as variáveis obtemos uma explicação maior assim como um maior controle dos resíduos no que diz a convergência a normalidade. A variáveis $\ln X_2$ possui uma grande importância na explicação do modelo, contudo seus resíduos são nada controlados. Conforme acrescentamos as variáveis é observado um maior p-valor no teste de normalidade dos resíduos. A partir do momento em que introduzimos as interações das variáveis pertinentes do modelo, vemos que os resíduos se mostram muito mais controlados, demonstrando assim que as interações, apesar de não explicarem muito em termos de R^2 ponderado, possuem um poder gigantesco para controlar a normalidade dos resíduos.

Conclusões